

(과제번호 : 0510030)

항암제 내성 대장암 세포주에서 내성 관련 단백질들의
동정 및 기능 연구(II)

Identification and verification of chemoresistance-related
proteins in colorectal cancer cell lines
with induced drug resistance (II)

과제책임자 : 유 병 철

국립암센터

1. 이 보고서는 국립암센터 기관고유연구 사업 결과보고서입니다.
2. 이 보고서 내용을 인용할 때에는 반드시 국립암센터 연구사업 결과임을 밝혀야 합니다.

제 출 문

국립암센터 원장 귀하

이 보고서를 기관고유연구사업 “항암제 내성 대장암 세포주에서 내성 관련 단백질들의 동정 및 기능 연구(II)” 과제의 결과보고서로 제출합니다.

2007. 12. 31.

국립암센터

과제책임자 : 유병철

연구원 : 장희진

" : 임석병

" : 신영경

" : 장상근

" : 김근

" : 안선아

목 차

< 요 약 문 >

(한글) -----	1
(영문) -----	3
1. 연구사업의 최종목표 -----	5
2. 연구사업의 내용 및 결과 -----	5
3. 연구결과 고찰 및 결론 -----	43
4. 연구성과 및 목표달성을 -----	44
5. 연구결과의 활용계획 -----	50
6. 첨부서류 -----	50

< 요 약 문 >

연구분야(코드)				과제번호	0510030
과 제 명		항암제 내성 대장암 세포주에서 내성 관련 단백질들의 동정 및 기능 연구(II)			
연구기간/연구비 (천원)	합계	2005년 1월 1일 ~ 2007년 12월 31일		550,000	
	1차년도	2005년 1월 1일 ~ 2005년 12월 31일		170,000	
	2차년도	2006년 1월 1일 ~ 2006년 12월 31일		200,000	
	3차년도	2007년 1월 1일 ~ 2007년 12월 31일		180,000	
과제책임자		성 명	유 병 철	주민등록번호	
		전화번호	031-920-2342	전 자 우 편	yoo_akh@ncc.re.kr
색인단어	국문	항암제 내성, 대장암, 단백질체학			
	영문	Drug Resistance, Colorectal Cancer, Proteomics			

◆ 연구목표

<최종목표>

- 항암제 내성 인체 대장암 세포주를 이용한 유전체 및 단백질체 연구를 통하여 내성 관련 유전자 및 단백질들을 발굴하고 그 역할을 규명함으로써 새로운 내성 관련 기작의 이해를 확대
- 임상적으로 적용이 가능한 항암제 내성 예측인자나 항암보조제 개발의 토대를 마련

<당해연도목표>

- 항암제 내성에 큰 차이를 보이는 대장암 세포주들간의 단백질체 분석을 통한 내성 관련 단백질들의 동정
- 기존 연구를 통하여 얻어진 내성 관련 후보 단백질의 발현 조절과 활성 조절이 대장암 세포주의 항암제 내성에 미치는 효과 분석
- 내성 관련 단백질의 효과적인 임상 적용 고찰
- iCPL (Isotope Coded Protein Labelling) 방법을 LC-MALDI system에 접목 2-DE gel independent한 새로운 고감도 대용량 단백질체 분석 방법 토대 마련

◆ 연구내용 및 방법

- 인체 대장암 세포주, SNU-C4, SNU-C5, SNU-769A, SNU-769B로부터 얻어진 5-FU 내성 세포주들의 비교 단백질체학(comparative proteomics)을 계속하여 수행함

- ① 세포주로부터 얻어진 단백질들의 분획(sub-fractionation: subcellular fractionation, phosphoprotein isolation, glycoprotein isolation etc)을 통한 proteome 분석의 효율을 증대시킴
- ② iCPL 과 LC-MALDI system 구축을 통한 2-DE independent proteomics 실현 및 high-throughput automatic MS/MS analysis를 통한 효율적 protein-protein interaction 분석

- 기존 연구를 통하여 얻어진 내성 관련 후보 단백질의 발현 조절과 활성 조절이 대장암 세포주의 항암제 내성에 미치는 효과 분석
 - ① siRNA system을 이용한 효과적 유전자 발현 억제 방법 확립을 통해 내성관련 후보 단백질들이 내성 억제 및 중진에 미치는 영향을 효과적으로 분석
 - ② 내성관련 후보 단백질의 항체를 이용한 immunoprecipitate 내의 단백질 분석을 통해 내성 후보 단백질과 interaction 하는 단백질을 동정하여 내성 단백질의 세포내 내성과 관련한 역할을 이해할 수 있는 자료를 획득함

◆ 연구성과

- 정량적 성과

구분	달성치/ 목표치 ¹⁾	달성도 (%)	비고
SCI 논문 IF 합	35.539/46	77.2	제1저자 2편 (IF 13.833) + 공저자 8편 (IF 21.706) = 총 IF 35.539
기타 성과			* 제1저자 1편 (IF 2.442) + 교신저자 1편 (3.277) = 총 IF 5.719 under review * 제 1저자 4편 = 예상 총 IF 약 27 preparing to submit in a month

1) 총연구기간내 목표 연구성과로 기 제출한 값

- 정성적 성과

- iCPL을 이용한 LC-MALDI MS/MS system 확립
- 임상의 항암제 내성 예측을 위한 secretome (in vitro) data 구축

◆ 참여연구원 (최종연도 참여인원)	성명	유병철, 장희진, 임석병, 신영경, 장상근, 김근, 안선아
	주민등록번호	

Project Summary

Title of Project	Identification and verification of chemoresistance-related proteins in colorectal cancer cell lines with induced drug resistance (II)
Key Words	Drug Resistance, Colorectal Cancer, Proteomics
Project Leader	Byong Chul Yoo
Associated Company	None

5-Fluorouracil (5-FU) is one of the most widely used chemotherapeutic agents in treating advanced colorectal cancer. However, partial or complete responses of colorectal cancer to 5-FU are generally followed by eventual tumor re-growth. Numerous studies have focused on identifying the mechanisms and key molecules involved to overcome natural or acquired 5-FU resistance. However, our knowledge on the subject is currently limited, and further investigation is necessary. To date, we have identified several proteins associated with 5-FU resistance by comparative proteome assessment, and their specific roles for 5-FU resistance have been studied. The followings are the summary of our recent findings

1. Decreased galectin-3 expression is significantly associated with elevated 5-FU resistance. Galectin-3 suppression results in diminished human colon cancer cell proliferation. However, galectin-3 suppression in the presence of 5-FU does not affect the proliferation rate, and slightly augments apoptosis. Suppression of heterogeneous nuclear ribonucleoprotein Q (hnRNP Q) interacting with galectin-3 has similar effects as galectin-3 on colon cancer cell proliferation, both in the absence and presence of 5-FU. Interestingly, while galectin-3 protein is not affected by the hnRNP Q level, its suppression is accompanied by a decrease in hnRNP Q expression. Furthermore, the hnRNP Q protein becomes unstable in the presence of 5-FU. The results demonstrate that galectin-3 may regulate hnRNP Q-mediated 5-FU resistance.
2. Galectin-3 interacted with the d-subunit of the F0 complex, but not the alpha-subunit of the F1 complex. Galectin-3 was co-purified with ATP synthase until mitochondrial inner membrane vesicle fraction. Interestingly, ATP synthase activity decreased in the presence of galectin-3. However, after suppression of galectin-3 activity by siRNA transfection, the pattern of total intracellular ATP content in human colon cancer cells remained similar to that of the control. Interestingly, galectin-3 suppression is accompanied by a decrease in ATP synthase d-subunit expression. In conclusion, galectin-3 co-localized with ATP synthase in mitochondria of human colon cancer cells possibly inhibits enzyme activity by interacting with the F0 complex, however, its interaction may stabilize ATP synthase protein itself.

3. Comparative assessment of secretome obtained from human colon cancer cell line SNU-C4 and its 5-FU resistant derivative cells has been performed using iCPL and LC-MALDI-MS/MS. From this assessment 235 secreted proteins have been identified. Among the proteins dysregulated in secretome of 5-FU resistant cells, most up-regulated proteins were the enzymes involved in glycolysis, and the level of pyruvate kinase - rate determining enzyme of glycolysis - was 1.7 fold higher compared to that in the secretome from parent cells. To investigate whether level of pyruvate kinase in serum from colorectal cancer patient can be the predictive marker for the response of 5-FU-based chemotherapy, 16 patients with previously untreated mCRC were enrolled. Serum samples have been obtained before chemotherapy, and the chemotherapy response of 12 patients was stable disease (SD), and 3 were partial response (PR). Only one patient's response was defined as progress disease (PD). Interestingly, level of pyruvate kinase was about 3 times higher in sera from chemotherapy non-responders (SD and PD) compared to that in sera from chemotherapy responders (PR). Our present results show a successful example that in vitro information of secretome of human colon cancer cell line with induced 5-FU resistance can be valuable for the clinical application to predict 5-FU-based chemotherapy response.
4. Based on comparing the ToF-SIMS spectra of low mass ions in normal and patients' sera, we have been establishing the protocol for the chemotherapy response prediction.
5. From the comparative proteome assessment of Her2-positive SK-BR-3 cells and its Herceptin-resistant SK-BR-3 (SK-BR-3 HR), heat-shock protein 27 (HSP27) expression was shown to be upregulated in SK-BR-3 HR cells. Suppression of HSP27 by specific siRNA transfection increased both Herceptin susceptibility of SK-BR-3 HR cells. HSP27 can bind to Her2. In the absence of Herceptin, HSP27 expression is suppressed and Her2 expression is reduced, indicating that downregulation of Her2 by Herceptin can be obstructed by formation of a Her2HSP27 complex. The present results demonstrate that upregulated HSP27 in human breast cancer cells may reduce Herceptin susceptibility by increasing Her2 protein stability.

1. 연구사업의 최종목표

본 연구의 목표는 항암제 내성 인체 대장암 세포주를 이용한 프로테옴 연구를 통하여 내성 관련 단백질들의 발굴하고 그 역할을 규명함으로써 새로운 내성 관련 기작의 이해를 확보해 나가는 것이 1차적인 목적이며, 이러한 연구 목적의 달성을 통하여 임상적으로 적용이 가능한 항암제 내성 예측인자나 항암보조제 개발의 토대를 마련하는 것이 본 연구의 최종 목적임.

2. 연구사업의 내용 및 결과

1) Down-regulated Galectin-3 in Human Colon Cancer Cells with Induced 5-Fluorouracil Resistance

- SNU-769B와 5-FU 내성이 유도된 SNU-769BR의 whole proteome으로부터 glycoproteome을 lectin chromatography로 분리하였음. 그 후, 1-D SDS-PAGE와 MALDI-MS 분석을 통하여 galectin-3가 5-FU 내성이 유도된 SNU-769BR에서 down-regulation 되어 있음을 확인하였음 (그림 1A).
- MALDI-MS 분석 결과(그림 1B)의 검증을 위하여 glycoproteome, nucleus, cytoplasm, whole proteome 내에 존재하는 galectin-3의 발현정도를 western blot analysis를 통하여 확인하였음 (그림 1 C). Glycoproteome와 whole homogenate 내에 존재하는 galectin-3의 발현은 SNU-769BR 외의 다른 대장암 세포주(SNU-C5, 769A)로부터 유래한 5-FU 내성세포주 (SNU-C4R, C5R, 769AR)에서도 down-regulation 되고 있음이 확인되었음 (그림 1 C).
- 5-FU 내성이 유도된 세포주가 아닌 다른 대장암 모세포주에서 galectin-3 발현정도와 5-FU에 대한 susceptibility와의 관계를 조사하였고, galectin-3 발현정도는 5-FU susceptibility와 positive correlation이 있음을 확인하였음 (그림 1 D).
- 대장암세포주 중 galectin-3의 발현과 5-FU에 대한 susceptibility가 높은 SNU-81을 선택하여 galectin-3의 발현을 siRNA transfection을 통해 인위적으로 억제 하고, 5-FU에 대한 반응성을 관찰하였음 (그림 2). Galectin-3에 specific한 siRNA transfection 이후 galectin-3의 발현은 최소 96시간까지 지속적으로 감소하였음 (그림 2 A). Galectin-3의 인위적 발현 억제는 대장암 세포의 성장을 지속적으로 감소 시켰으나 (그림 2 B), 5-FU 가 존재하는 상태에서는 galectin-3의 발현 억제가 대조군과 비교하였을 때 큰 차이를 보이지 않았음 (그림 2 C). 오히려 5-FU에 의한 apoptosis는 증가하였고 (그림 2 F), 5-FU uptake 율을 증가시켰음 (그림 2 E). 그러나 galectin-3 의 발현 억제를 통해 발생되는 세포 생장률의 차이는 galectin-3 에 의해 5-FU에 대한 상대적 내성을 유발될 수 있음을 보여줌 (그림 2 B, C, D).

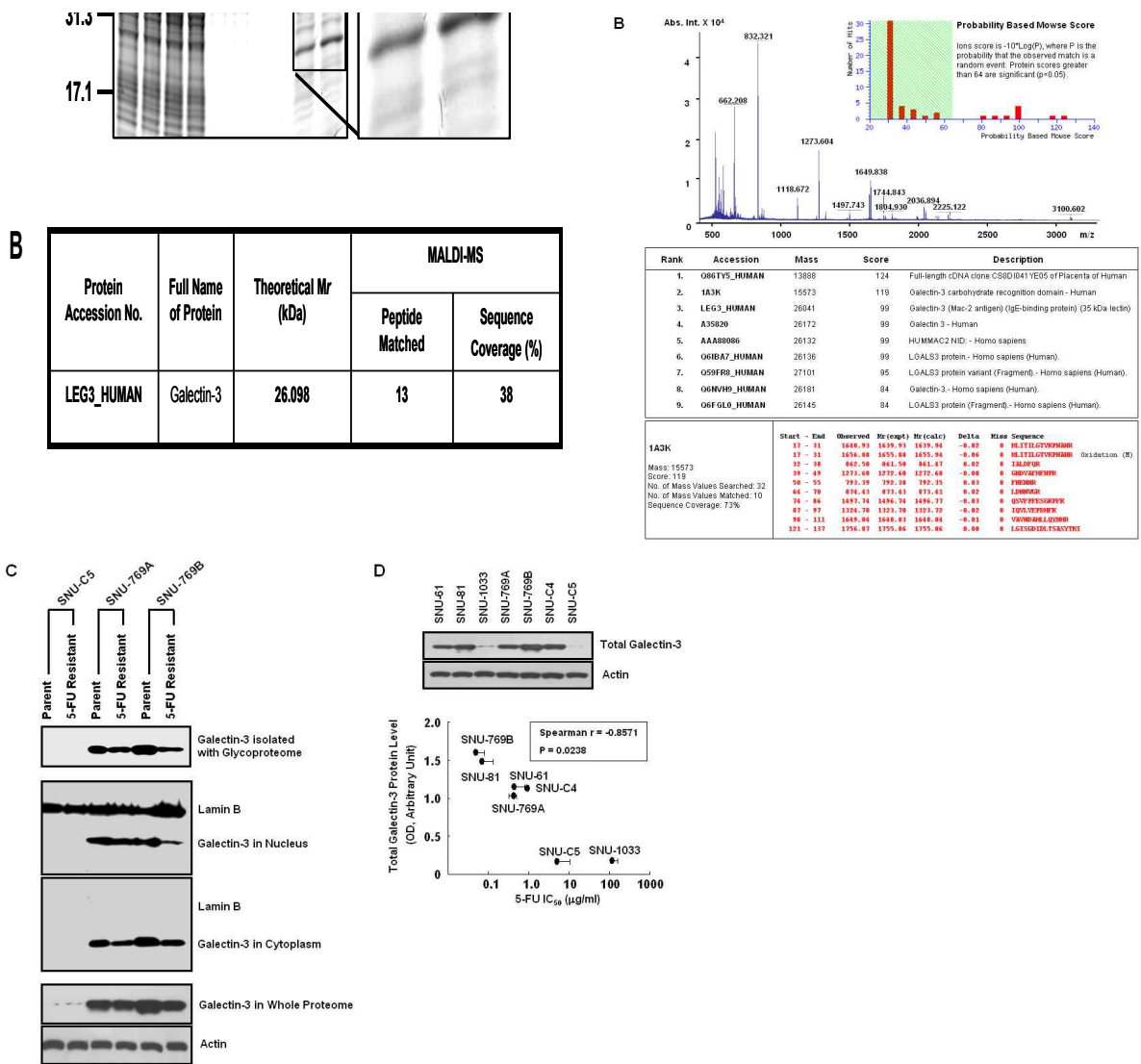


그림 1. 5-FU 내성이 유도된 인체 대장암 세포주 SNU-769B에서 down-regulation 되고 있는 galectin-3 단백질의 동정 (A, B)과 galectin-3 발현과 5-FU 내성과의 연관성 (C, D)

- Galectin-3와 5-FU 약재 내성과 관련된 세포 내부의 주요 kinase의 activity를 측정하였으나 두드러진 변화는 관찰되어지지 않았음 (그림 3).
- Galectin-3의 인위적인 발현 억제에 의해 유도되는 세포생장율의 저하를 이해하기 위해 galectin-3 와 interaction하는 단백질들을 galectin-3 antibody를 이용한 immunoprecipitate 내에서 조사하였다. 염증 (그림 4 A, B).
- Galectin-3와 interaction하는 단백질들 중, 세포생장에 영향을 미칠 수 있는 hnRNP Q 단백질이 동정되었음 (그림 4 A, B).

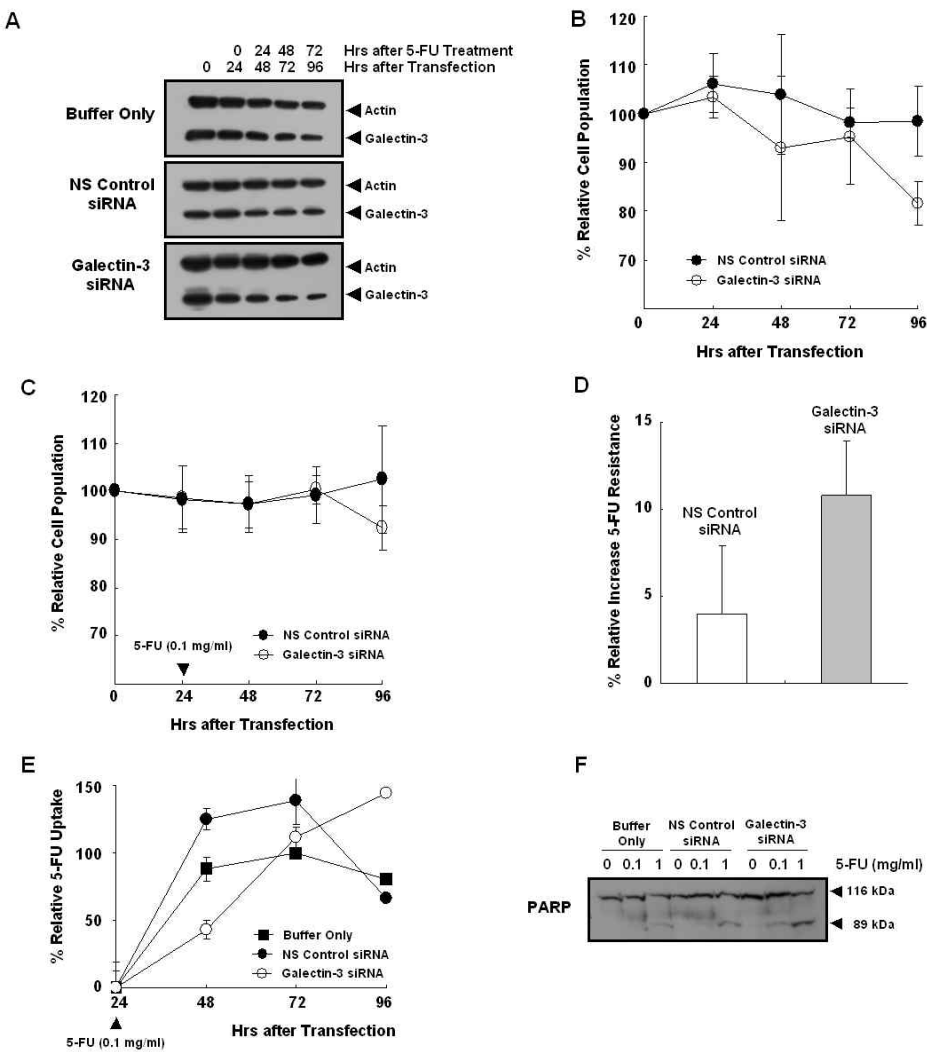


그림2. Galectin-3의 인위적 발현 억제를 통한 5-FU 감수성의 변화 관찰.

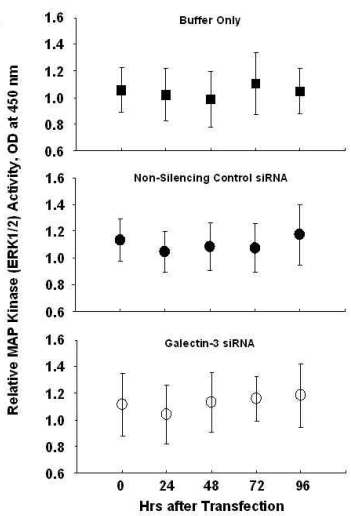


그림3. Galectin-3의 발현억제가 미치는
MAP kinase 활성도의 영향.

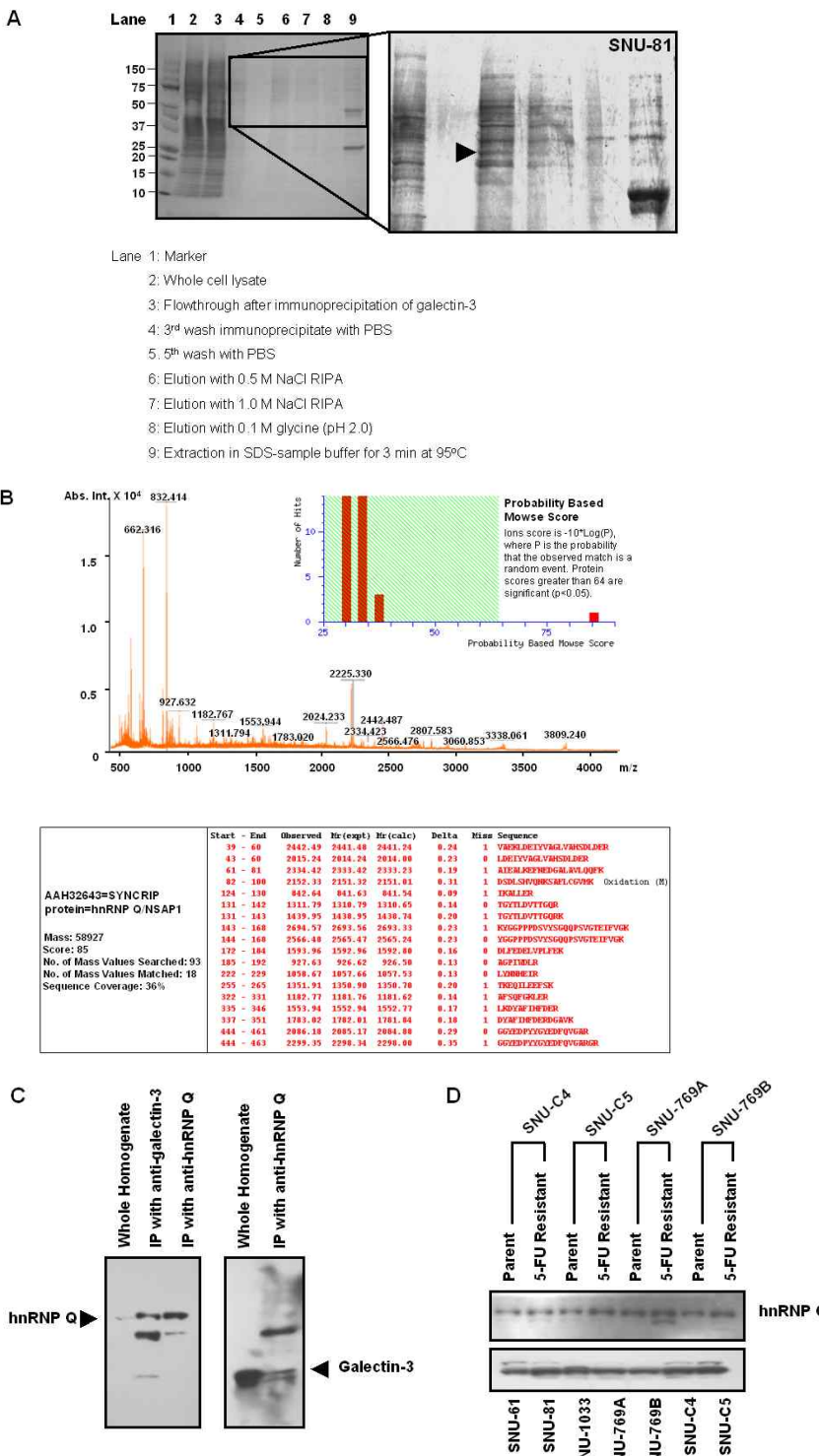


그림 4. Galectin-3와 interaction하는hnRNP Q 단백질의 동정 및 대장암 모세포주의 5-FU 감수성과 hnRNP Q 단백질 발현의 연관성 관찰.

- hnRNP Q 단백질은 galectin-3와 interaction 하는 것이 immunoprecipitation을 통하여 검증 되었으나 (그림 4 C), 대장암 모세포주의 5-FU 감수성과 hnRNP Q 단백질 발현의 연관성은 없었음 (그림 4 D)

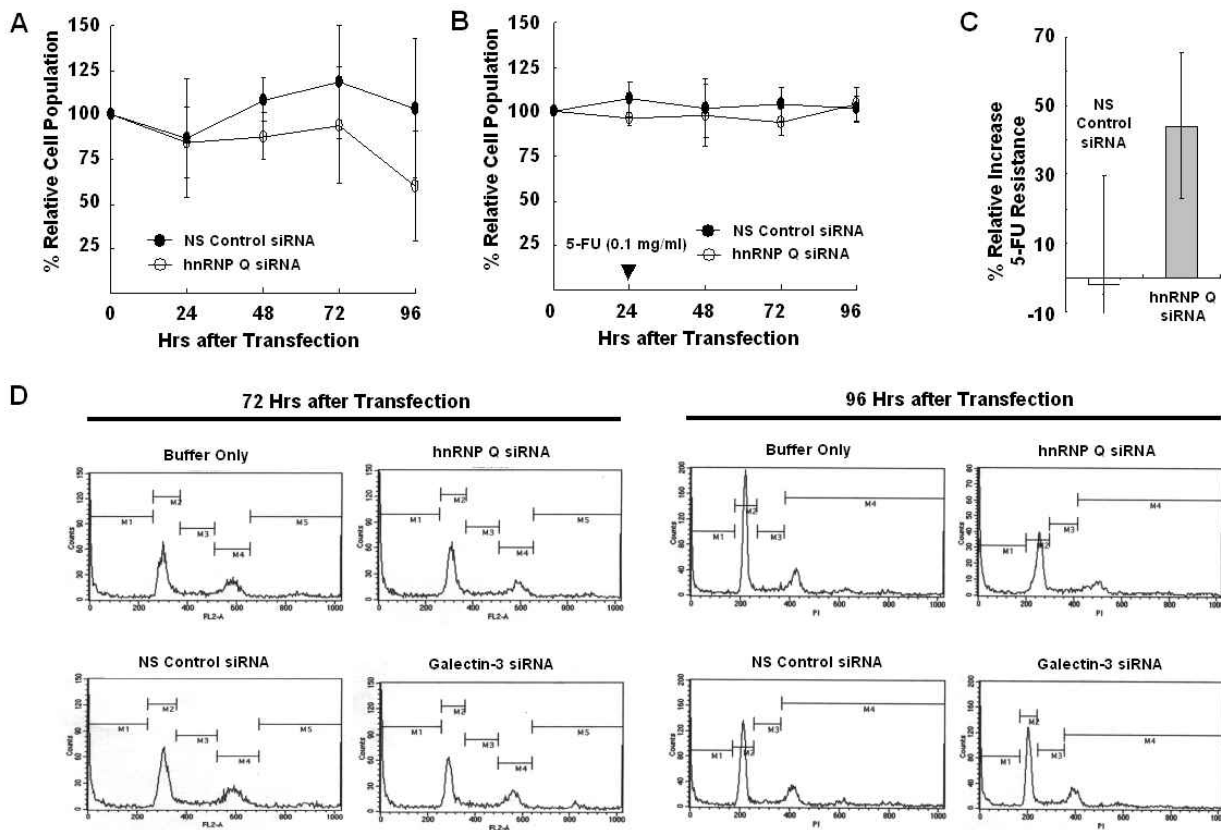
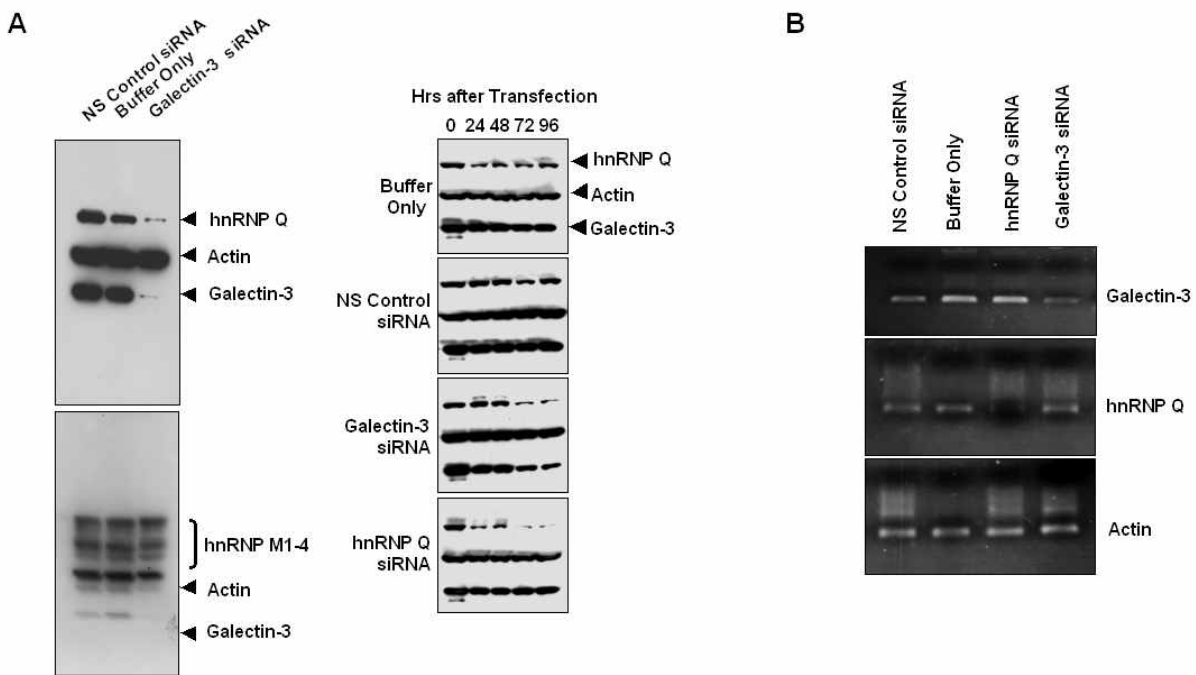


그림 5. hnRNP Q의 인위적 발현 억제가 5-FU 내성과 세포주기에 미치는 영향

- Galectin-3의 인위적 발현 억제와 같은 양상으로 hnRNP Q의 인위적 발현 억제는 5-FU가 없는 상태에서 대조군에 비해 세포 성장률을 크게 감소 시켰으나 (그림 5 A), 5-FU가 존재하는 상태에서는 대조군과의 큰 차이를 보이지 않았음 (그림 5 B). hnRNP Q의 발현 억제를 통한 5-FU의 내성 증가율은 약 40%로 나타났으나 특이한 세포 주기의 영향, apoptosis의 증가는 관찰 되지 않았음 (그림 5 C, D).
- 흥미롭게도 hnRNP Q 단백질은 galectin-3의 인위적 발현 억제에 의해 감소하였으며 (그림 6 A) 이는 RNA 단계에서의 억제가 아닌 단백질 안정성의 감소에 따른 결과로 유추됨 (그림 6 B, C).
- 세포질 및 핵 내에 위치한 hnRNP Q 단백질은 5-FU에 의해 감소, 절편화 되어짐 (그림 6 D).



C

Expression Report	Buffer Only	NS Control siRNA	Galectin-3 siRNA	hnRNP Q siRNA
Total Probe Sets	22283	22283	22283	22283
No. of mRNA Present	11361	11281	11473	11054
Presentation Call (%)	51.0	50.6	51.5	49.6

		Gene Symbol	Affymetrix Identification	Description	Function	F.C. ^a	
						Buffer only vs. NS Control siRNA	NS Control siRNA vs. hnRNP Q siRNA
After hnRNP Q Suppression	Down	SYNCRIP	217833_at	Synaptotagmin binding, cytoplasmic RNA interacting protein, hnRNP Q	Nuclear mRNA splicing via spliceosome, RNA splicing, mRNA processing, RNA processing	-1.37	-1.31
		IL18	206295_at	Interleukin 18 (Interferon-gamma-inducing factor)	Angiogenesis, immune response, cell-cell signaling, induction of apoptosis via death domain receptors, regulation of cell adhesion	-1.86	-1.10
		SYNCRIP	209025_s_at	Synaptotagmin binding, cytoplasmic RNA interacting protein, hnRNP Q	Nuclear mRNA splicing via spliceosome, RNA splicing, mRNA processing, RNA processing	-1.25	-1.15
	Up	FLJ10357	58780_s_at	Hypothetical protein FLJ10357	Regulation of Rho protein signal transduction	-1.01	-1.21
		CACNA1G	210380_s_at	Calcium channel, voltage-dependent, alpha 1G subunit	Cation transport, calcium ion transport	2.73	4.49
		FRMD4B	216131_at	FERM domain containing 4B		2.99	2.95
		KL	205978_at	Klotho	Carbohydrate metabolism	1.78	2.13
		CYP21A2	214622_at	Cytochrome P450, family 21, subfamily A, polypeptide 2	Electron transport, C21-steroid hormone biosynthesis	1.93	3.64
		CDC42SE2	215846_at	CDC42 small effector 2	Signal transduction	4.90	1.93
		KLF13	219878_s_at	Kruppel-like factor 13	Transcription, regulation of transcription, DNA-dependent transcription from RNA pol II promoter	2.52	1.21

C (continue)

	Gene Symbol	Affymetric Identification	Description	Function	F.C. ^a	
					Buffer only vs. Galectin-3 siRNA	NS Control siRNA vs. Galectin-3 siRNA
Down After Galectin-3 Suppression	LIMK2,	202193_at	LIM domain kinase 2	Protein amino acid phosphorylation	-1.21	-1.05
	C9orf150	216769_x_at	Chromosome 9 open reading frame 150		-4.21	-2.40
	CACNA1A	214933_at	Calcium channel, voltage-dependent, P/Q type, alpha 1A subunit	Cation transport, calcium ion transport, elevation of cytosolic calcium ion concentration, synaptic transmission, cell death	-3.28	-3.81
	LGALS3, GALIG	208949_s_at	Lectin, galactoside-binding, soluble, 3 (galectin 3)		-0.87 ^b	-1.11
Up After Galectin-3 Suppression	UBD, GABBR1	205890_s_at	Gamma-aminobutyric acid (GABA) B receptor 1, ubiquitin D	Signal transduction, negative regulation of adenylate cyclase activity, gamma-aminobutyric acid signaling pathway	3.17	4.14
	AKAP12	210517_s_at	A kinase (PRKA) anchor protein (gravin) 12	Protein targeting, signal transduction, G-protein coupled receptor protein signaling pathway	1.59	1.67
	SEC14L1	202083_s_at	SEC14-like 1 (<i>S.cerevisiae</i>)	Transport	2.01	3.82
	RABEP1	203223_at	Rabaptin, RAB GTPase binding effector protein 1	Transport, endocytosis, apoptosis, protein transport, endocytosis, membrane fusion	3.91	1.58
	SCG5	203889_at	Secretogranin V (TB2 protein)	Protein folding, transport, neuropeptide signaling pathway, peptide hormone processing, regulation of hormone secretion	1.04	1.21

^a Fold Change, 2^b

^b The table contains the list of genes showing more than 2-fold change in the transcriptional level, compared to two controls transfected with buffer only or non-silencing control siRNA. Galectin-3 expression level was significantly decreased after galectin-3 siRNA transfection compared to both controls, but the decrease was less than 2-fold compared to the buffer-transfected control.

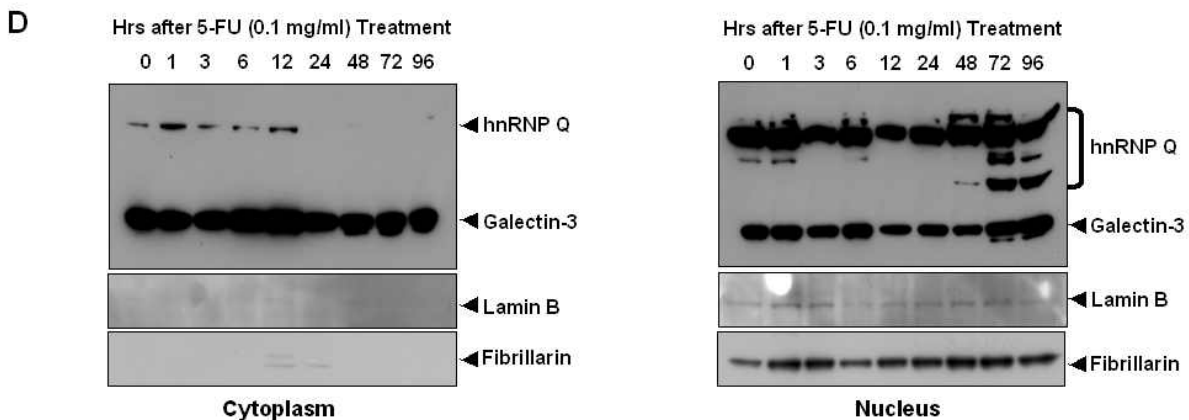


그림 6. Galectin-3 발현 억제에 의한 hnRNP Q 단백질의 안정도 감소와 5-FU에 의한 hnRNP Q 단백질의 절편화

- Galectin-3의 인위적 발현 억제로 인한 세포생장의 억제를 설명하기 위해, galectin-3 발현 억제 후의 유전자 변화를 microarray 분석을 통해 관찰 하였음 (표 1). Galectin-3 발현 억제를 통해 발현이 증가되는 유전자들을 중심으로 실제 mRNA 발현정도와 단백질의 발현 정도가 일치하는 가에 대한 분석이 진행 중임.

Table 1. List of the genes showing increased expression after transfection of siRNA against galectin-3

	Gal3 VS NC	Gal3 VS NC	Gal3 VS NC	Gal3 VS NC		
	Signal	Detection	Signal Log Ratio	Change	Gene Symbol	Full Name of Gene
216505_x_at	3734.1	P	1	I	RPS10	ribosomal protein S10
220547_s_at	1540.3	P	1	I	FAM35A	family with sequence similarity 35, member A
214953_s_at	2514.3	P	1.02	I	APP	amyloid beta (A4) precursor protein
200978_at	6279.3	P	1.04	I	MDH1	malate dehydrogenase 1, NAD (soluble)
217491_x_at	6302.9	P	1.05	I	COX7C	cytochrome c oxidase subunit VIIc??
208684_at	1488.5	P	1.06	I	COPA	coatomer protein complex, subunit alpha?
211937_at	3180	P	1.06	I	EIF4B	eukaryotic translation initiation factor 4B?
218258_at	1963.4	P	1.09	I	POLR1D	polymerase (RNA) I polypeptide D, 16kDa?
208872_s_at	1549.5	P	1.1	I	C5orf18	chromosome 5 open reading frame 18?
214359_s_at	3061.6	P	1.1	I	HSPCB	heat shock 90kDa protein 1, beta?
218830_at	3047	P	1.13	I	RPL26L1	ribosomal protein L26-like 1?
210338_s_at	13434.8	P	1.15	I	HSPA8	heat shock 70kDa protein 8
200064_at	7379	P	1.18	I	HSPCB	heat shock 90kDa protein 1, beta?
201416_at	1424.8	P	1.21	I	SOX4	?SRY (sex determining region Y)-box 4
206059_at	2364.1	P	1.25	I	ZNF91	zinc finger protein 91 (HPF7, HTF10)
201339_s_at	2071.9	P	1.26	I	SCP2	sterol carrier protein 2?
202520_s_at	1541.2	P	1.26	I	MLH1	mutL homolog 1, colon cancer, nonpolyposis type 2
201410_at	2271.6	P	1.33	I	PLEKHB2	pleckstrin homology domain containing, family B member 2?
201477_s_at	2252.9	P	1.33	I	RRM1	ribonucleotide reductase M1 polypeptide?
200041_s_at	4269.3	P	1.37	I	BAT1	HLA-B associated transcript 1?
218819_at	1552.6	P	1.37	I	DDX26	DEAD/H (Asp-Glu-Ala-Asp/His) box polypeptide 26?
203214_x_at	1819.6	P	1.38	I	CDC2	cell division cycle 2, G1 to S and G2 to M?
208739_x_at	2745.3	P	1.41	I	SUMO2	SMT3 suppressor of mif two 3 homolog 2 (yeast)?
201070_x_at	2890.1	P	1.44	I	SF3B1	splicing factor 3b, subunit 1, 155kDa
214305_s_at	3288.6	P	1.45	I	SF3B1	splicing factor 3b, subunit 1, 155kDa
201946_s_at	1777.3	P	1.46	I	CCT2	chaperonin containing TCP1, subunit 2 (beta)?
212018_s_at	2511.2	P	1.55	I	RSL1D1	ribosomal L1 domain containing 1
222234_s_at	398.2	P	1.67	I	MGC3101	hypothetical protein MGC3101?
221648_s_at	1530.9	P	1.68	I	C1orf121	chromosome 1 open reading frame 121?
201930_at	1284.2	P	1.97	I	MCM6	MCM6 minichromosome maintenance deficient 6
203831_at	969.2	P	2	I	KIAA1002	KIAA1002 protein?
200045_at	1343.2	P	2.05	I	ABCF1	ATP-binding cassette, sub-family F (GCN20), member 1?
201079_at	1183.7	P	2.69	I	SYNGR2	synaptogyrin 2
211571_s_at	678.9	P	2.9	I	CSPG2	chondroitin sulfate proteoglycan 2 (versican)
202841_x_at	968.2	P	2.93	I	OGFR	opioid growth factor receptor
204099_at	899.8	P	2.97	I	SMARCD3	SWI/SNF related, matrix associated regulator
217117_x_at	1047.7	P	2.97	I	MUC3A	mucin 3A, intestinal??
220277_at	956.2	P	3.03	I	CXXC4	CXXC finger 4?
218078_s_at	1114.5	P	3.06	I	ZDHHC3	zinc finger, DHHC-type containing 3?
209565_at	1155.3	P	3.09	I	RNF113A	ring finger protein 113A
212186_at	1156.5	P	3.25	I	ACACA	acetyl-Coenzyme A carboxylase alpha
201164_s_at	1309	P	3.28	I	PUM1	pumilio homolog 1 (Drosophila)
212005_at	1230.2	P	3.32	I	C1orf144	chromosome 1 open reading frame 144?
201083_s_at	867.3	P	3.98	I	BCLAF1	BCL2-associated transcription factor 1???
204571_x_at	2400.8	P	4.32	I	PIN4	parvulin?
216207_x_at	756.4	P	4.44	I	IGKV1D-13	immunoglobulin kappa variable 1D-13??
211519_s_at	1471.3	P	4.83	I	KIF2C	kinesin family member 2C

2) Interactions between Galectin-3 with Mitochondrial F1F0-ATP Synthase

- Galectin-3와 interaction하는 단백질들 중, mitochondrial F0F1-ATP synthase b-subunit 단백질이 동정되었음 (그림 7 A, B).
- Mitochondrial F0F1-ATP synthase b-subunit에 대한 antibody를 상업적으로 구입할 수 없었기 때문에 b-subunit에 대한 antibody를 준비하는 동안 ATP synthase의 F0 complex의 d-subunit과 F1 complex의 alpha-subunit에 대한 antibody를 이용하여 galectin-3와의 interaction을 실험하였음. ATP synthase d-subunit만이 Galectin-3와 interaction하였음 (그림 7 C).

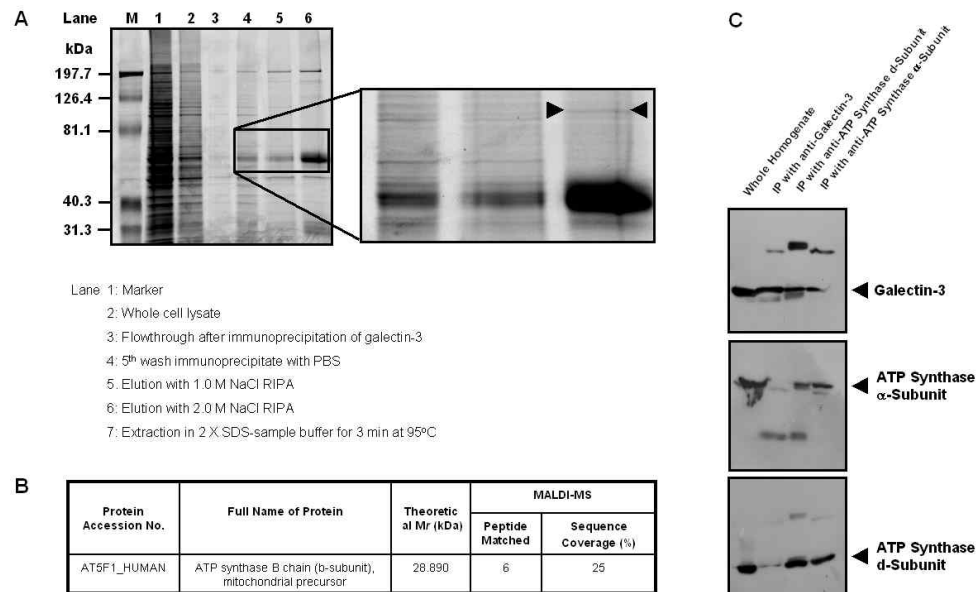


그림7. Galectin-3와 interaction하는 mitochondrial F0F1-ATP synthase b-subunit 단백질 동정

- Galectin-3의 mitochondria내에서의 존재는 5-FU에 대한 내성과의 연관성을 찾을 수 없었으나, galectin-3는 mitochondria의 inner membrane vesicles에도 존재하고 있음이 확인되었음 (그림 8 A).
- Galectin-3의 ATP synthase F0 complex와의 interaction 및 mitochondria 내의 ATP synthase와의 co-localization은 galectin-3가 ATP synthase activity에도 영향을 줄 수 있는 가능성을 제시하였음. 실제 두 번의 반복실험을 통해 galectin-3가 존재하는 상태에서 ATP synthase activity는 감소하는 양상을 보였음 (그림 8 B).

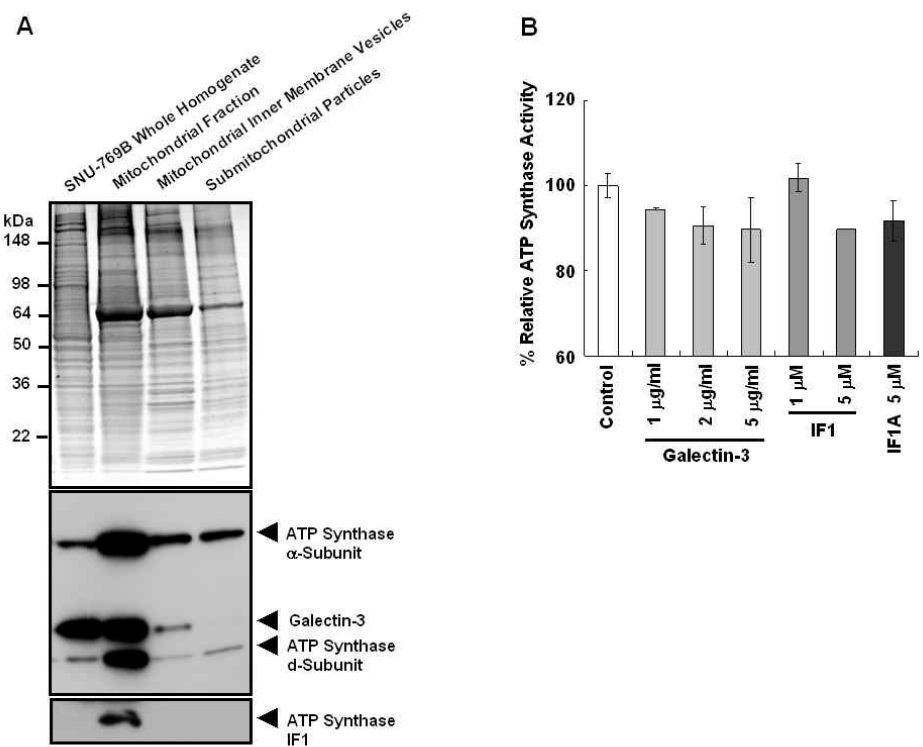


그림 8. Galectin-3의 mitochondrial inner membrane vesicles 내의 존재 및 galectin-3에 의한 ATP synthase 효소 활성도의 감소

- Galectin-3의 ATP synthase activity에 대한 영향에도 불구하고, 실제 galectin-3 발현 억제 후의 세포내에 존재하는 전체 ATP 양은 변화가 없었음 (그림 9).

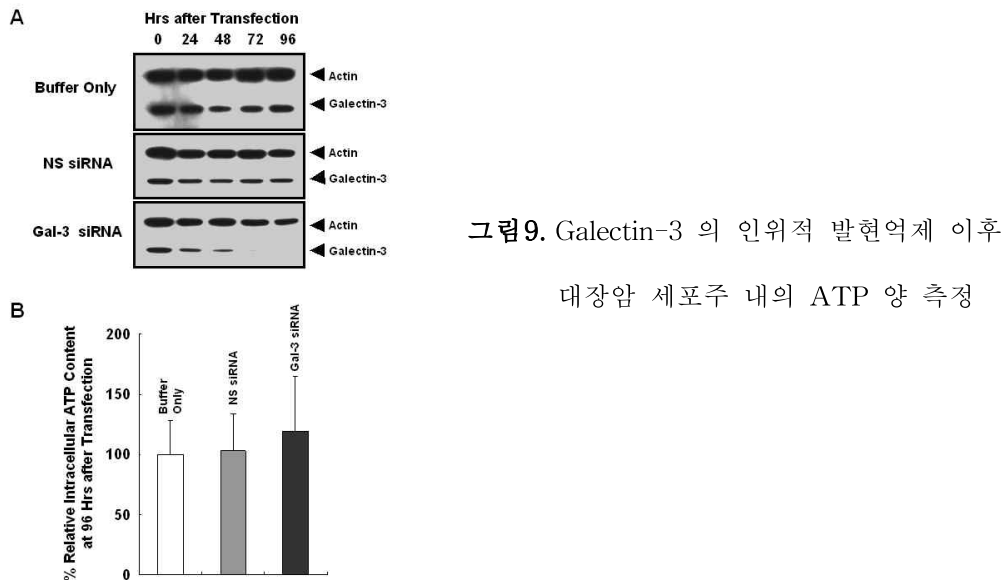


그림 9. Galectin-3의 인위적 발현억제 이후

대장암 세포주 내의 ATP 양 측정

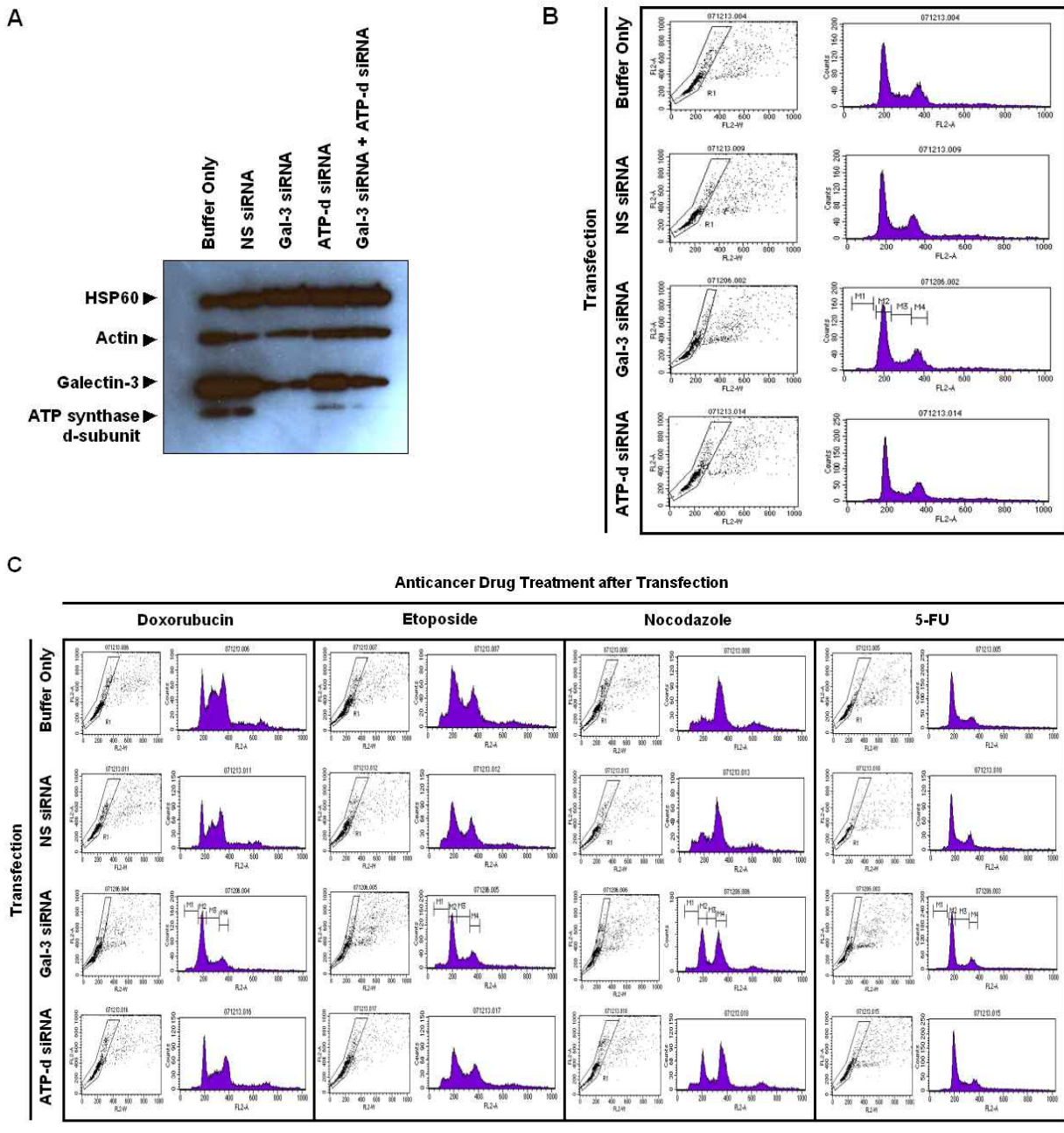


그림 10. Galectin-3의 인위적 발현 억제와 동반된 ATP synthase d-subunit의 감소 및 여러 약재에 대한 galectin-3 발현 억제 효과

- 흥미롭게도 galectin-3의 인위적 발현 억제는 ATP synthase d-subunit의 발현 감소를 동반하였음 (그림 10 A).
- 세포주기에 영향을 미치는 다양한 약재를 처리한 후 galectin-3를 인위적으로 억제하였을 때, 다양한 약재의 효과가 galectin-3의 인위적 억제에 의해 변화되는 것을 관찰함 (그림 10 B, C).

3) Up-regulated Alpha-enolase in Human Colorectal Cancer Cells with 5-Fluorouracil Resistance

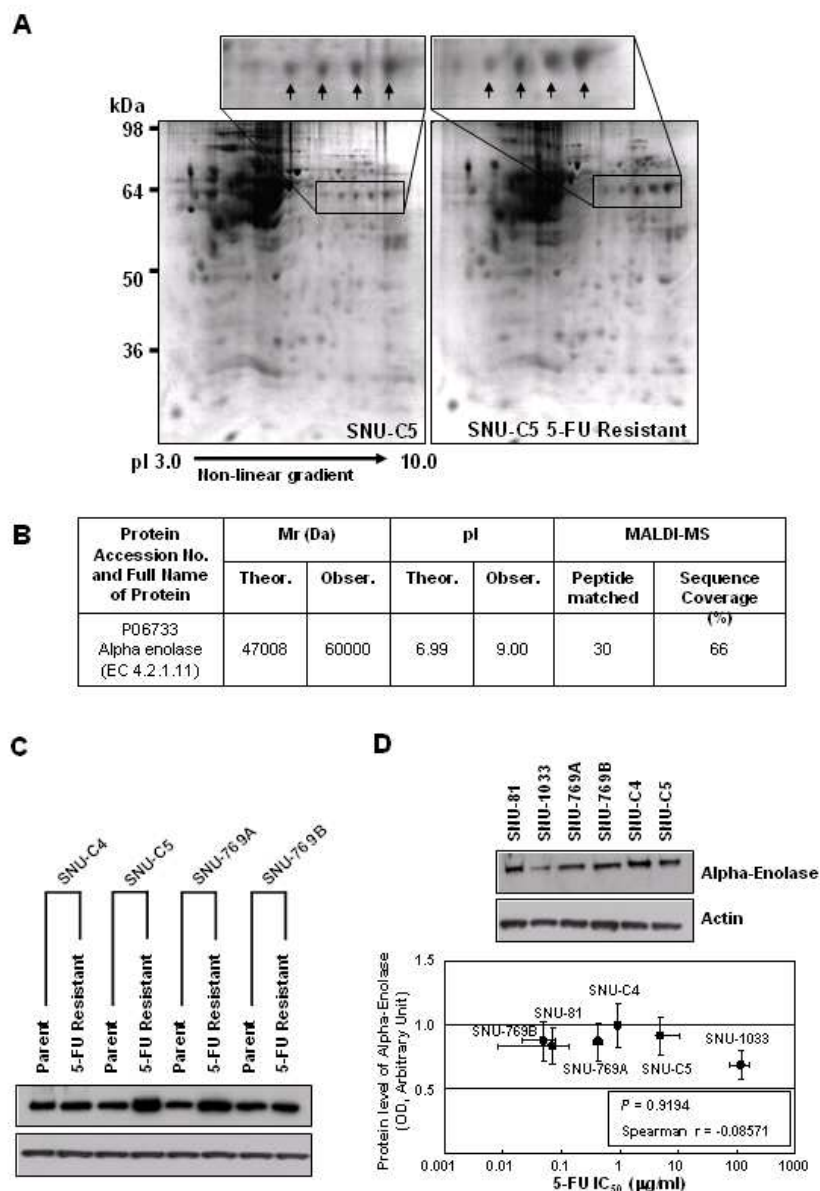


그림 11. 5-FU 내성이 유도된 인체대장암세포주에서의 alpha-enolase의 과발현

- 5-FU 내성이 유도된 인체대장암세포주 SNU-C5의 단백질체 분석을 통하여 alpha-enolase가 5-FU 내성 세포주에서 과발현 되고 있음을 확인함 (그림 11 A, B). 이와 같은 과발현은 다른 5-FU 내성 세포주에서도 공통적인 현상이었으나 (그림 11 C) 일반 대장암 모세포주들의 5-FU 민감도와 alpha-enolase 발현의 정도는 어떠한 연관성을 보이지 않았음 (그림 11 D).

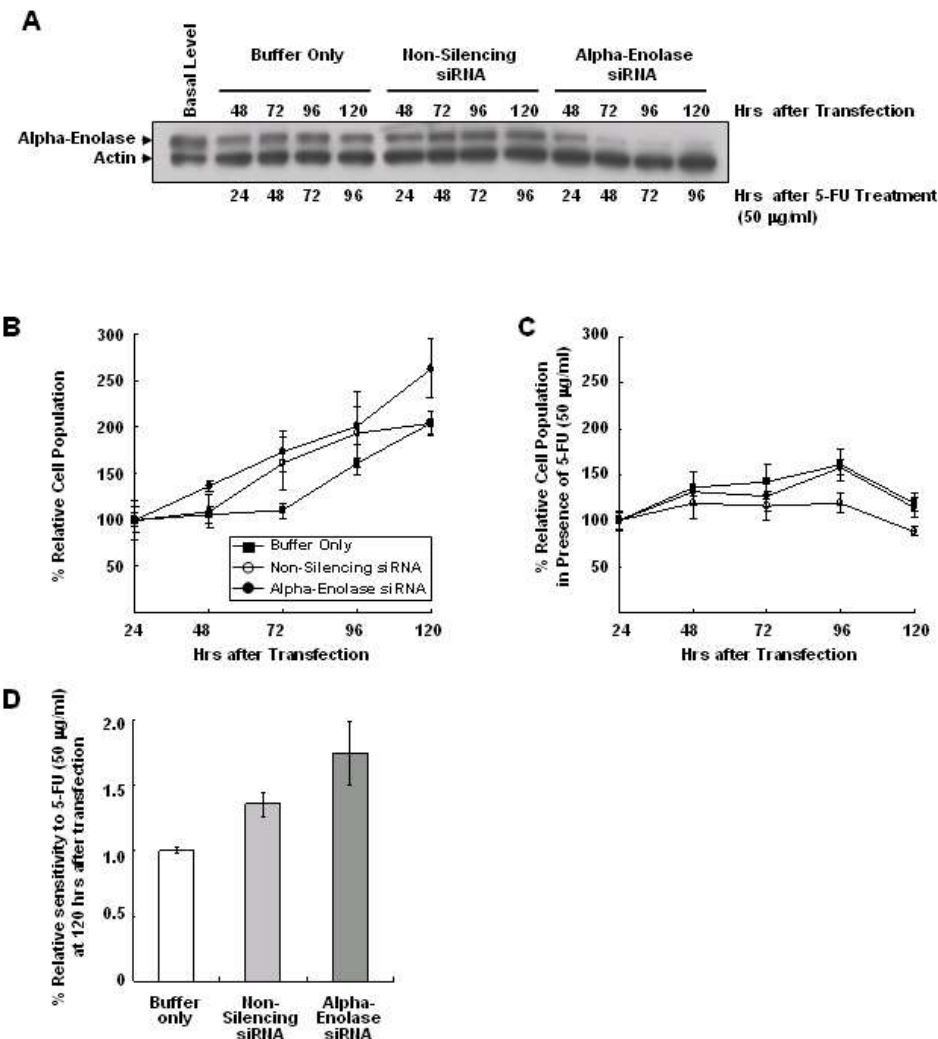


그림 12. Alpha-enolase suppression을 통한 5-FU 내성의 증가

- 모세포주에 비해 alpha-enolase를 과발현하고 있는 5-FU 내성 SNU-C5 세포주의 alpha-enolase의 발현을 siRNA 도입을 통해 인위적으로 발현 억제 시켰을 때 (그림 12 A) 5-FU 민감도를 증가시킬 수 있었으며, 이는 alpha-enolase의 발현의 조절이 세포주 생장과 직접적인 연관을 가지고 있음에 기인함을 확인함 (그림 12 B, C, D).

4) Glycolytic Enzymes Up-regulated in Proteins Secreted from Colorectal Cancer Cells with 5-Fluorouracil Resistance

- 5-FU 항암제 내성을 가진 SNU-C4와 모세포주의 분비 단백질들을 iCPL을 통해 표지하고 LC-MALDI-MS/MS 분석을 통하여 정성, 정량 분석함 (그림 13 A, 표 2-5).
- 5-FU 내성 세포주의 분비 단백질에서 총 44종의 발현 증가 단백질 (표 2), 82종의 변화가 없는 단백질 (표 3), 35종의 발현 저하 단백질(표 4)을 정성, 정량 분석하였으며, 추가로 총 74종의 분비 단백질 (표 5)이 동정되었음.
- 5-FU 내성 세포주의 과분비 단백질 중 두드러지게 glycolysis에 관여하는 단백질들이 비정상적 과분비 되고 있음을 확인 함 (그림 13 B)

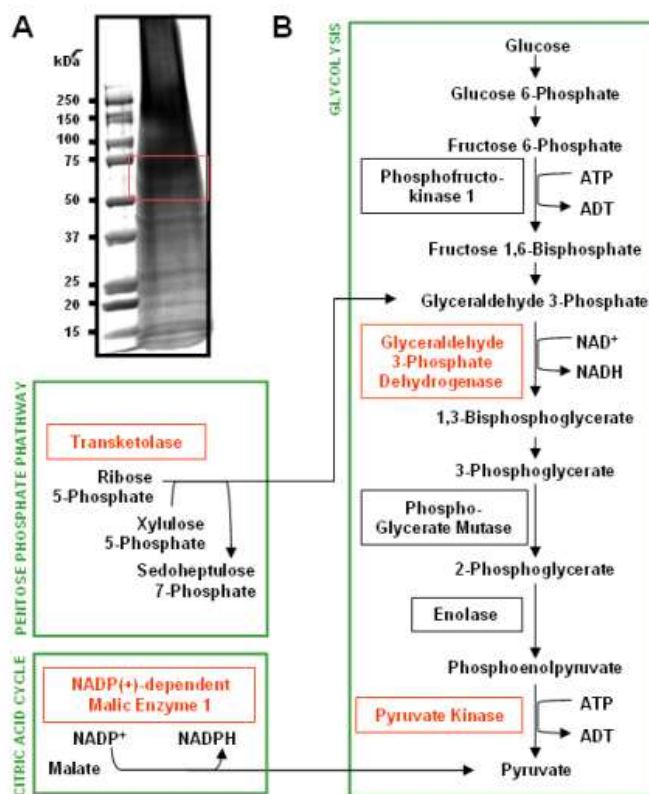


그림 13. 5-FU 내성을 가진 대장암세포주 SNU-C4와 모세포주의 분비 단백질에 대한 iCPL LC-MALDI-MS/MS 정성 및 정량 분석

Table 2. Up-Regulated Proteins in Secretome of Human colon Cancer Cell Line SNU-C4 with Induced 5-FU Resistance (I)

Protein ID	Protein Name and Species	Score	MW [kDa]	pI	SC [%]	# Pept.	# (treated/control)	Avg.	Avg. SD (treated/control)	CV [%] (treated/control)	Median (treated/control)
P27797	Calreticulin precursor (CRP55) (Calregulin) (HACBP) (ERP60) (grp60)	66.35	48.28289	4.139	2.39808	3	2	4.51	5.98	187.28	2.12546
P04908	Histone H2A type 1-B	89.52	14.03294	11.52	23.2558	4	1	2.74	0	0	2.73781
O43776	Asparaginyl-tRNA synthetase, cytoplasmic (EC 6.1.1.22) (Asparagine-tRNA ligase) (AsnRS)	512.98	63.75784	5.864	18.7956	11	7	2.62	0.18	18.346	2.57742
P11413	Glucose-6-phosphate 1-dehydrogenase (EC 1.1.1.49) (G6PD)	323.66	59.55312	6.451	15.5642	8	1	2.51	0	0	2.50573
P55209	Nucleosome assembly protein 1-like 1 (NAP-1-related protein) (hNRP)	86.55	45.63104	4.209	7.67263	2	1	2.35	0	0	2.35337
Q01082	Spectrin beta chain, brain 1 (Spectrin, non-erythroid beta chain 1) (Beta-II spectrin) (Fo)	185.042	275.259	5.307	4.01861	10	1	2.25	0	0	2.25377
Q96KP4	Cytosolic nonspecific dipeptidase (Glutamate carboxypeptidase-like protein 1) (CNDP dipept	41.38	53.18704	5.591	1.89474	2	1	2.21	0	0	2.2054
P54578	Ubiquitin carboxyl-terminal hydrolase 14 (EC 3.1.2.15) (Ubiquitin thiolesterase 14) (Ubiqu	227.42	56.35815	5.059	13.3874	5	3	2.18	0.16	12.496	2.16215
P48163	NADP-dependent malic enzyme (EC 1.1.1.40) (NADP-ME) (Malic enzyme 1)	376.73	64.67928	5.74	22.9021	8	4	2.12	0.01	1.147	2.11649
P49591	Seryl-tRNA synthetase (EC 6.1.1.11) (Serine-tRNA ligase) (SerRS)	90.73	59.1222	6.024	3.89864	2	1	2.07	0	0	2.06647
Q02790	FK506-binding protein 4 (EC 5.2.1.8) (Peptidyl-prolyl cis-trans isomerase) (PPase) (Rotam	141.6935	51.92614	5.224	15.0655	4	2	2	0.16	11.244	1.98379
Q99733	Nucleosome assembly protein 1-like 4 (Nucleosome assembly protein 2) (NAP2)	54.88	42.96795	4.448	5.6	2	1	1.96	0	0	1.96253
P07437	Tubulin beta-2 chain	448.92	50.09514	4.636	20.4955	10	2	1.93	0.17	12.662	1.91386
P08243	Asparagine synthetase [glutamine-hydrolyzing] (EC 6.3.5.4) (Glutamine-dependent asparagine	116.74	64.7678	6.41	3.39286	2	1	1.89	0	0	1.89019
Q02487	Desmocollin-2 precursor (Desmosomal glycoprotein II and III) (Desmocollin-3)	732.76	101.3243	5.06	14.0954	15	4	1.88	0.17	18.531	1.8504
O60506	Heterogeneous nuclear ribonucleoprotein Q (hnRNP Q) (hnRNP-Q) (Synaptotagmin-binding, cyto	312.4435	69.78768	9.148	13.3226	7	4	1.88	0.12	12.44	1.86681
Q9UN86	Ras-GTPase-activating protein-binding protein 2 (GAP SH3-domain-binding protein 2) (G3BP-2)	67.69243	54.13481	5.299	4.56432	2	1	1.82	0	0	1.81705
P68104	Elongation factor 1-alpha 1 (EF-1-alpha-1) (Elongation factor 1 A-1) (eEF1A-1) (Elongation	116.22	50.45124	9.721	4.11255	2	1	1.81	0	0	1.81199
Q9BZZ5	Apoptosis inhibitor 5 (API-5) (Fibroblast growth factor 2-interacting factor) (FIF) (XAGL	109.82	57.86727	5.762	7.2549	3	1	1.81	0	0	1.81462
Q9NSD9	Phenylalanyl-tRNA synthetase beta chain (EC 6.1.1.20) (Phenylalanine-tRNA ligase beta cha	37.35	66.7148	6.419	1.86757	1	1	1.81	0	0	1.80856
Q92841	Probable ATP-dependent RNA helicase DDX17 (EC 3.6.1.-) (DEAD box protein 17) (RNA-dependen	87.68	72.9532	9.494	5.84615	3	1	1.78	0	0	1.77824
O43390	Heterogeneous nuclear ribonucleoprotein R (hnRNP R)	134.48	71.18435	8.799	6.16114	4	1	1.77	0	0	1.76939
P68363	Tubulin alpha-ubiquitous chain (Alpha-tubulin ubiquitous) (Tubulin K-alpha-1)	889.93	50.80386	4.806	29.2683	14	4	1.76	0.1	10.889	1.74516
P49321	Nuclear autoantigenic sperm protein (NASP)	111.78	85.47118	4.109	2.41117	3	2	1.73	0.19	15.855	1.70602

Table 2. Up-Regulated Proteins in Secretome of Human colon Cancer Cell Line SNU-C4 with Induced 5-FU Resistance (II)

Protein ID	Protein Name and Species	Score	MW [kDa]	pI	SC [%]	# Pept.	# (treated/control)	Avg.	Avg. SD (treated/control)	CV [%] (treated/control)	Median (treated/control)
Q99538	Legumain precursor (EC 3.4.22.34) (Asparaginyl endopeptidase) (Protease, cysteine 1)	555.89	49.77856	6.077	28.6374	14	3	1.72	0.03	3.1343	1.72238
P14618	Pyruvate kinase isozymes M1/M2 (EC 2.7.1.40) (Pyruvate kinase muscle isozyme) (Cytosolic t	1224.362	58.3392	8.959	43.0189	25	9	1.71	0.12	21.353	1.67211
P31948	Stress-induced-phosphoprotein 1 (ST1) (Hsc70/Hsp90-organizing protein) (Hop) (Transformat	489.3449	63.22664	6.419	27.9926	19	6	1.7	0.12	17.352	1.67136
P26639	Threonyl-tRNA synthetase, cytoplasmic (EC 6.1.1.3) (Threonine-tRNA ligase) (ThrRS)	229.9	84.29421	6.233	7.7455	5	2	1.67	0.04	3.5998	1.67118
P31939	Bifunctional purine biosynthesis protein PURH [Includes: Phosphoribosylaminoimidazolecarbo	190.17	65.08853	6.279	9.7973	6	3	1.67	0.06	6.3777	1.67038
Q93081	Histone H3/b	106.19	15.31547	12.01	25.9259	4	1	1.66	0	0	1.66209
P50991	T-complex protein 1 subunit delta (TCP-1-delta) (CCT-delta) (Stimulator of TAR RNA-binding	274.19	58.26991	9.083	15.6134	10	3	1.65	0.05	5.0471	1.64921
P68371	Tubulin beta-2C chain (Tubulin beta-2 chain)	425.19	50.25517	4.648	17.0787	9	2	1.62	0.05	4.0151	1.62072
P50990	T-complex protein 1 subunit theta (TCP-1-theta) (CCT-theta)	68.58	60.02168	5.307	2.3766	2	1	1.61	0	0	1.61483
O60701	UDP-glucose 6-dehydrogenase (EC 1.1.1.22) (UDP-Glc dehydrogenase) (UDPGDH) (UDPGDH)	285.66	55.6735	6.893	15.587	7	3	1.6	0.19	20.119	1.57245
P06748	Nucleophosmin (NPM) (Nucleolar phosphoprotein B23) (Numatrin) (Nucleolar protein NO38)	76.92	32.72591	4.489	8.16327	3	1	1.6	0	0	1.59725
P48643	T-complex protein 1 subunit epsilon (TCP-1-epsilon) (CCT-epsilon)	332.4235	60.08898	5.339	16.451	6	1	1.58	0	0	1.58208
P29401	Transketolase (EC 2.2.1.1) (TK)	556.6473	68.51898	8.536	22.3114	17	7	1.57	0.05	7.7687	1.5661
P62937	Peptidyl-prolyl cis-trans isomerase A (EC 5.2.1.8) (PPIase) (Rotamase) (Cyclophilin A) (Cy	117.11	18.09793	9.141	21.9512	3	1	1.57	0	0	1.56545
P26038	Moesin (Membrane-organizing extension spike protein)	233.4535	67.76079	6.031	12.1528	10	5	1.56	0.14	19.672	1.53241
P06865	Beta-hexosaminidase alpha chain precursor (EC 3.2.1.52) (N-acetyl-beta-glucosaminidase) (B)	151.32	61.10643	4.901	7.3724	5	1	1.56	0	0	1.5625
P04406	Glyceraldehyde-3-phosphate dehydrogenase (EC 1.2.1.12) (GAPDH)	109.96	36.07042	9.297	7.78443	5	2	1.55	0.05	4.2794	1.54447
Q14126	Desmoglein-2 precursor (HDGC)	1073.305	123.0501	5.022	13.6974	23	9	1.54	0.03	6.8125	1.53457
P41250	Glycyl-tRNA synthetase (EC 6.1.1.14) (Glycine-tRNA ligase) (GlyRS)	246.45	83.82787	6.659	9.06631	6	2	1.53	0.06	5.3831	1.52544
Q14697	Neutral alpha-glucosidase AB precursor (EC 3.2.1.84) (Glucosidase II alpha subunit)	236.83	107.2628	5.702	7.62712	6	1	1.53	0	0	1.53059
P60709	Actin, cytoplasmic 1 (Beta-actin)	379.05	42.05186	5.179	26.9333	10	3	1.5	0.02	2.7917	1.50397

3. Proteins Not Altered in Secretome of Human Colon Cancer Cell Line SNU-C4 with Induced 5-FU Resistance (I)

Protein ID	Protein Name and Species	Score	MW [kDa]	pI	SC [%]	# Pept.	# (treated/control)	Avg.	Avg. SD (treated/control))	CV [%] (treated/control)	Median (treated/control)
Q99832	T-complex protein 1 subunit eta (TCP-1-eta) (CCT-eta) (HIV-1 Nef-interacting protein)	139.27	59.84212	8.604	5.52486	4	2	1.49	0.09	8.3272	1.48035
Q16630	Cleavage and polyadenylation specificity factor 6 (Cleavage and polyadenylation specific)	84.11	59.34448	6.739	5.44465	5	2	1.49	0.08	7.4836	1.48371
O15371	Eukaryotic translation initiation factor 3 subunit 7 (eIF-3 zeta) (eIF3 p66) (eIF3d)	63.352 43	64.55967	5.711	4.19708	2	2	1.49	0.09	8.2296	1.48185
Q9UNW1	Multiple inositol polyphosphate phosphatase 1 precursor (EC 3.1.3.62) (Inositol (1,3,4,5)-)	214.2	55.64332	8.88	7.59754	6	1	1.48	0	0	1.47864
P11940	Polyadenylate-binding protein 1 (Poly(A)-binding protein 1) (PABP 1)	422.44 24	70.85395	9.992	20.283	15	4	1.47	0.08	11.463	1.46341
P15586	N-acetylglucosamine-6-sulfatase precursor (EC 3.1.6.14) (G6S) (Glucosamine-6-sulfatase)	95.39	62.84034	9.409	7.6087	3	1	1.47	0	0	1.46664
P06733	Alpha-enolase (EC 4.2.1.11) (2-phospho-D-glycerate hydro-lyase) (Non-neural enolase) (NNE)	359.51	47.35041	7.697	21.709	10	4	1.46	0.15	20.6	1.43176
P20700	Lamin-B1	91.72	66.52169	4.962	5.64103	4	1	1.45	0	0	1.45249
P00352	Retinal dehydrogenase 1 (EC 1.2.1.36) (RalDH1) (RALDH 1) (Aldehyde dehydrogenase family 1	502.22 24	55.32314	6.317	18.2	12	3	1.43	0.07	7.9309	1.42448
P40227	T-complex protein 1 subunit zeta (TCP-1-zeta) (CCT-zeta) (CCT-zeta-1) (Tcp20) (HTR3) (Acut	223.08	58.31273	6.24	8.67925	10	3	1.43	0.04	5.2656	1.43219
P15311	Ezrin (p81) (Cytovillin) (Villin-2)	880.70 17	69.33872	5.892	35.3846	32	13	1.42	0.07	16.881	1.40331
P12956	ATP-dependent DNA helicase 2 subunit 1 (EC 3.6.1.-) (ATP-dependent DNA helicase II 70 kDa	443.84	69.95312	6.219	17.4342	12	4	1.42	0.09	12.153	1.4123
P14923	Junction plakoglobin (Desmoplakin-3) (Desmoplakin III)	192.98	82.24493	5.933	7.53701	4	2	1.42	0.05	4.8438	1.41776
Q9BRK5	45 kDa calcium-binding protein precursor (Cab45) (Stromal cell-derived factor 4) (SDF-4)	156.43 24	41.8945	4.614	19.6133	4	1	1.41	0	0	1.41495
Q9HAT2	Sialate O-acetylesterase precursor (EC 3.1.1.53) (Sialic acid-specific 9-O-acetylesterase)	121.49	58.9614	7.148	3.82409	3	1	1.41	0	0	1.41458
P49588	Alanyl-tRNA synthetase (EC 6.1.1.7) (Alanine-tRNA ligase) (AlaRS)	50.43	107.4755	5.187	1.7562	2	1	1.4	0	0	1.40232
P15170	G1 to S phase transition protein 1 homolog (GTP-binding protein GST1-HS)	124.22	56.34753	5.343	5.61122	4	2	1.39	0.1	9.937	1.38731
Q04446	1,4-alpha-glucan branching enzyme (EC 2.4.1.18) (Glycogen branching enzyme) (Brancher enzy	31.62	80.86479	5.862	1.56695	1	1	1.38	0	0	1.38336
Q9P258	Protein RCC2 (Telophase disk protein of 60 kDa) (RCC1-like protein TD-60)	244.73 49	56.79048	9.873	12.2605	7	3	1.36	0.13	16.43	1.34538
P22392	Nucleoside diphosphate kinase B (EC 2.7.4.6) (NDK B) (NDP kinase B) (nm23-H2) (C-myc purin	103.5	17.40098	9.351	20.3947	6	1	1.36	0	0	1.36454
P53396	ATP-citrate synthase (EC 2.3.3.8) (ATP-citrate (pro-S-)lyase) (Citrate cleavage enzyme)	77.502 43	121.6602	7.078	2.7248	2	1	1.36	0	0	1.35986
Q13263	Transcription intermediary factor 1-beta (TIF1-beta) (Tripartite motif protein 28) (Nuclea	73.87	90.26108	5.442	3.11377	3	1	1.36	0	0	1.3555

表 3. Proteins Not Altered in Secretome of Human Colon Cancer Cell Line SNU-C4 with Induced 5-FU Resistance (II)

Protein ID	Protein Name and Species	Score	MW [kDa]	pI	SC [%]	# Pept.	# (treated/control)	Avg.	Avg. SD (treated/control)	CV [%] (treated/control)	Median (treated/control)
Q96MM7	Heparan-sulfate 6-O-sulfotransferase 2 (EC 2.8.2.-) (HS6ST-2)	50.39	70.05545	10.74	1.32231	2	1	1.35	0	0	1.3538
P07900	Heat shock protein HSP 90-alpha (HSP 86)	967.25	84.8888	4.793	25.0342	24	9	1.34	0.11	24.915	1.30309
P17987	T-complex protein 1 subunit alpha (TCP-1-alpha) (CCT-alpha)	454.91	60.81877	5.738	16.7266	8	4	1.34	0.08	11.258	1.33583
O15355	Protein phosphatase 2C isoform gamma (EC 3.1.3.16) (PP2C-gamma) (Protein phosphatase magne	49.242	59.91894	4.117	5.67766	2	1	1.34	0	0	1.34046
Q02809	Procollagen-lysine,2-oxoglutarate 5-dioxygenase 1 precursor (EC 1.14.11.4) (Lysyl hydroxyl)	928.66	84.0676	6.49	34.5254	23	4	1.33	0.06	9.3843	1.32072
P16278	Beta-galactosidase precursor (EC 3.2.1.23) (Lactase) (Acid beta-galactosidase)	99.85	76.49877	6.106	5.31758	4	1	1.33	0	0	1.326
P36871	Phosphoglucomutase-1 (EC 5.4.2.2) (Glucose phosphomutase 1) (PGM 1)	159.96	61.56459	6.32	10.5169	6	2	1.31	0.14	15.166	1.29233
Q8NBP7	Proprotein convertase subtilisin/kevin type 9 precursor (EC 3.4.21.-) (Proprotein converta	2244.0	75.80772	6.092	46.3873	39	9	1.3	0.02	4.4542	1.29592
P08238	Heat shock protein HSP 90-beta (HSP 84) (HSP 90)	1248.7	83.42319	4.819	30.2905	26	9	1.3	0.11	24.632	1.26446
Q92820	Gamma-glutamyl hydrolase precursor (EC 3.4.19.9) (Gamma-Glu-X carboxypeptidase) (Conjugase	81.14	36.34032	6.81	8.1761	2	1	1.3	0	0	1.29844
P09211	Glutathione S-transferase P (EC 2.5.1.18) (GST class-pi) (GSTP1-1)	57.86	23.43807	5.321	5.26316	3	1	1.3	0	0	1.29933
P11142	Heat shock cognate 71 kDa protein (Heat shock 70 kDa protein 8)	1401.7	71.08231	5.241	39.7833	40	13	1.28	0.08	21.294	1.25282
P17858	6-phosphofructokinase, liver type (EC 2.7.1.11) (Phosphofructokinase 1) (Phosphohexokinase	102.55	85.6614	7.239	2.43902	3	1	1.28	0	0	1.27548
P23246	Splicing factor, proline- and glutamine-rich (Polypyrimidine tract-binding protein-associa	488.45	76.21567	9.901	19.2362	13	3	1.27	0.08	10.813	1.26381
P06744	Glucose-6-phosphate isomerase (EC 5.3.1.9) (GPI) (Phosphoglucose isomerase) (PGI) (Phospho	762.03	63.20429	9.141	25.8528	27	12	1.26	0.03	7.8668	1.2585
P23528	Cofilin-1 (Cofilin, non-muscle isoform) (18 kDa phosphoprotein) (p18)	37.36	18.5877	9.193	6.66667	1	1	1.26	0	0	1.26358
P49368	T-complex protein 1 subunit gamma (TCP-1-gamma) (CCT-gamma) (hTRIC5)	353.87	61.06553	6.079	16.8807	10	3	1.24	0.06	9.0325	1.23414
P06396	Gelsolin precursor (Actin-depolymerizing factor) (ADF) (Brevin) (AGEL)	270.2	86.04334	5.859	11.1253	12	4	1.24	0.09	13.732	1.23098
Q10472	Polypeptide N-acetylgalactosaminyltransferase 1 (EC 2.4.1.41) (Protein-UDP acetylgalactosa	185.37	65.08975	8.864	8.76565	6	1	1.24	0	0	1.24264
P35222	Beta-catenin	94.55	86.06945	5.469	2.94494	3	1	1.24	0	0	1.2373
Q99985	Semaphorin-3C precursor (Semaphorin E) (Sema E)	80.93	86.46409	9.828	2.66312	4	1	1.24	0	0	1.23564
Q9UMS4	Pre-mRNA-splicing factor 19 (PRP19/PSO4 homolog) (Nuclear matrix protein 200) (hPsO4)	40.16	55.60251	6.149	3.57143	2	1	1.24	0	0	1.23996
P61978	Heterogeneous nuclear ribonucleoprotein K (hnRNP K) (Transformation up-regulated nuclear p	460.17	51.22951	5.262	22.2462	10	4	1.23	0.06	9.9715	1.22373
Q15233	Non-POU domain-containing octamer-binding protein (NonO protein) (54 kDa nuclear RNA- and	243.97	54.31132	9.607	15.4989	7	3	1.23	0.15	20.875	1.2064

表 3. Proteins Not Altered in Secretome of Human Colon Cancer Cell Line SNU-C4 with Induced 5-FU Resistance (III)

Protein ID	Protein Name and Species	Score	MW [kDa]	pI	SC [%]	# Pept.	# (treated/control)	Avg.	Avg. SD (treated/control))	CV [%] (treated/control)	Median (treated/control)
Q12906	Interleukin enhancer-binding factor 3 (Nuclear factor of activated T-cells 90 kDa) (NF-AT-)	108.99	95.67822	9.349	2.57271	3	1	1.22	0	0	1.21702
P10619	Lysosomal protective protein precursor (EC 3.4.16.5) (Cathepsin A) (Carboxypeptidase C) (P)	98.62	54.94431	6.173	7.5	3	1	1.21	0	0	1.20652
Q92743	Serine protease HTRA1 precursor (EC 3.4.21.-) (L56)	117.78	52.16696	9.287	8.75	5	1	1.2	0	0	1.20266
P00441	Superoxide dismutase [Cu-Zn] (EC 1.15.1.1)	33.73	16.02295	5.678	6.53595	2	1	1.19	0	0	1.18542
Q969P0	Immunoglobulin superfamily member 8 precursor (CD81 partner 3) (Glu-Trp-Ile EWI motif cont)	470.97 24	65.62075	9.148	27.5693	15	1	1.17	0	0	1.16713
Q9NY33	Dipeptidyl-peptidase 3 (EC 3.4.14.4) (Dipeptidyl-peptidase III) (DPP III) (Dipeptidyl amin	195.74 24	82.87992	4.873	10.1764	7	1	1.17	0	0	1.16678
P02786	Transferrin receptor protein 1 (TfR1) (TR) (Trfr) (CD71 antigen) (T9) (p90)	542.16 49	85.30412	6.179	12.8947	13	4	1.16	0.17	29.819	1.11294
P08107	Heat shock 70 kDa protein 1 (HSP70.1) (HSP70-1/HSP70-2)	979.58 73	70.29414	5.358	29.3292	29	11	1.13	0.06	17.2	1.11077
Q9Y262	Eukaryotic translation initiation factor 3 subunit 6-interacting protein	108.69	66.91249	5.907	6.38298	3	1	1.13	0	0	1.12755
P13010	ATP-dependent DNA helicase 2 subunit 2 (EC 3.6.1.-) (ATP-dependent DNA helicase II 80 kDa	315.99	83.09145	5.465	11.4911	10	3	1.11	0.1	14.962	1.09886
P38646	Stress-70 protein, mitochondrial precursor (75 kDa glucose-regulated protein) (GRP 75) (Pe	150.03 24	73.91988	5.805	6.62739	6	2	1.11	0.06	7.8775	1.10562
P14314	Glucosidase II beta subunit precursor (Protein kinase C substrate, 60.1 kDa protein, heavy	126.98	60.22814	4.184	6.07211	6	3	1.1	0.12	18.701	1.0851
Q96QK1	Vacuolar protein sorting 35 (Vesicle protein sorting 35) (hVPS35) (Maternal-embryonic 3)	94.04	92.44723	5.205	3.76884	4	1	1.09	0	0	1.09319
P07237	Protein disulfide-isomerase precursor (EC 5.3.4.1) (PDI) (Prolyl 4-hydroxylase beta subunit	673.86	57.47982	4.61	21.2598	15	7	1.08	0.05	11.62	1.07118
O75083	WD-repeat protein 1 (Actin-interacting protein 1) (AIP1) (NORI-1)	266.96	66.70508	6.185	7.43802	8	2	1.08	0.15	19.917	1.05678
Q9UKV3	Apoptotic chromatin condensation inducer in the nucleus (Acinus)	62.55	152.196	6.034	1.49142	2	1	1.08	0	0	1.08493
P02545	Lamin-A/C (70 kDa lamin)	1340.6 17	74.37981	6.604	51.2048	34	12	1.07	0.05	16.769	1.05402
P13639	Elongation factor 2 (EF-2)	802.85 84	96.11527	6.422	25.7876	26	9	1.07	0.06	17.583	1.05684
Q16881	Thioredoxin reductase 1, cytoplasmic precursor (EC 1.8.1.9) (TR) (TR1)	328.12 24	55.47018	6.06	16.0321	9	4	1.06	0.09	16.987	1.04913
P26599	Polypyrimidine tract-binding protein 1 (PTB) (Heterogeneous nuclear ribonucleoprotein I) (227.12	57.3567	9.761	13.936	5	2	1.06	0.19	25.67	1.02821
Q06210	Glucosamine--fructose-6-phosphate aminotransferase [isomerizing] 1 (EC 2.6.1.16) (Hexoseph	452.06 24	79.42358	6.709	19.7708	12	3	1.04	0.09	14.338	1.03303

表 3. Proteins Not Altered in Secretome of Human Colon Cancer Cell Line SNU-C4 with Induced 5-FU Resistance (IV)

Protein ID	Protein Name and Species	Score	MW [kDa]	pI	SC [%]	# Pept.	# (treated/control)	Avg.	Avg. SD (treated/control)	CV [%] (treated/control)	Median (treated/control)
P10809	60 kDa heat shock protein, mitochondrial precursor (Hsp60) (60 kDa chaperonin) (CPN60) (Heat shock protein 60)	527.39	61.18744	5.59	23.2112	11	5	1.03	0.06	12.339	1.01806
Q01518	Adenylyl cyclase-associated protein 1 (CAP 1)	140.81	51.79471	8.945	7.59494	4	2	1.03	0.15	20.603	1.00394
P15291	Beta-1,4-galactosyltransferase 1 (EC 2.4.1.-) (Beta-1,4-GalTase 1) (Beta4Gal-T1) (b4Gal-T1)	41.78	44.20445	9.599	2.51889	2	1	1.03	0	0	1.03306
P55072	Transitional endoplasmic reticulum ATPase (TER ATPase) (15S Mg(2+)-ATPase p97 subunit) (Va)	87.284 87	89.81893	4.999	7.32919	4	1	1.01	0	0	1.01434
P30101	Protein disulfide-isomerase A3 precursor (EC 5.3.4.1) (Disulfide isomerase ER-60) (ERp60)	910.60 73	57.1459	5.95	31.4851	18	7	1	0.05	12.654	0.99202
P12277	Creatine kinase B-type (EC 2.7.3.2) (Creatine kinase, B chain) (B-CK)	62.43	42.90242	5.249	8.92388	2	1	1	0	0	0.99838
Q9Y2A9	UDP-GlcNAc-beta-1,3-N-acetylglucosaminyltransferase 3 (EC 2.4.1.-) (Beta3Gn-T3) (Beta-1,3-N-acetylglucosaminyltransferase 3) (EC 2.4.1.-) (Beta3Gn-T3) (B)	227.39	43.00109	9.802	14.2473	5	1	0.97	0	0	0.97449
O75369	Filamin-B (FLN-B) (Beta-filamin) (Actin-binding-like protein) (Thyroid autoantigen) (Trunc)	145.52	280.1879	5.403	2.38278	7	2	0.97	0.16	23.128	0.94665
P04075	Fructose-bisphosphate aldolase A (EC 4.1.2.13) (Muscle-type aldolase) (Lung cancer antigen)	228.9	39.72044	9.244	17.9063	5	2	0.94	0.12	17.481	0.92201
P18669	Phosphoglycerate mutase 1 (EC 5.4.2.1) (EC 5.4.2.4) (EC 3.1.3.13) (Phosphoglycerate mutase)	81.19	28.76884	6.817	11.4625	3	1	0.93	0	0	0.92823
Q9NYF8	Bcl-2-associated transcription factor 1 (Btf)	54.3	106.1728	10.42	1.52174	2	1	0.93	0	0	0.92637
P05787	Keratin, type II cytoskeletal 8 (Cytokeratin-8) (CK-8) (Keraton-8) (K8)	945.25 33	53.51008	5.385	38.7967	19	8	0.92	0.06	19.199	0.90141
P19338	Nucleolin (Protein C23)	249.37	76.49434	4.447	7.19323	5	2	0.91	0.04	6.0704	0.90434
O14672	ADAM 10 precursor (EC 3.4.24.81) (A disintegrin and metalloproteinase domain 10) (Mammalia)	209.31 24	86.14046	9.119	8.95722	6	2	0.91	0.1	15.921	0.89591
P23588	Eukaryotic translation initiation factor 4B (eIF-4B)	108.59 71	69.24026	5.348	8.51064	6	1	0.91	0	0	0.91005

表 4. Down-Regulated Proteins in Secretome of Human colon Cancer Cell Line SNU-C4 with Induced 5-FU Resistance (I)

Protein ID	Protein Name and Species	Score	MW [kDa]	pI	SC [%]	# Pept.	# (treated/control)	Avg.	Avg. SD (treated/control)	CV [%] (treated/control)	Median (treated/control)
Q8NB4	Golgi phosphoprotein 2 (Golgi membrane protein GP73)	1160.3	45.47683	4.765	37.9052	24	6	0.89	0.04	12.012	0.88592
P15151	Poliovirus receptor precursor (Nectin-like protein 5) (Necl-5) (CD155 antigen)	87.89	45.78702	6.075	9.35252	3	1	0.89	0	0	0.88592
Q86SF2	N-acetylgalactosaminyltransferase 7 (EC 2.4.1.-) (Protein-UDP acetylgalactosaminyltransfer	55.26	76.02528	6.736	2.89193	3	1	0.88	0	0	0.88219
P35579	Myosin-9 (Myosin heavy chain, nonmuscle IIa) (Nonmuscle myosin heavy chain IIa) (NMHC II-	198.36 65	227.515	5.377	4.49209	9	2	0.87	0.04	6.0645	0.87104
Q13740	CD166 antigen precursor (Activated leukocyte-cell adhesion molecule) (ALCAM)	104.52	65.77535	5.872	3.08748	2	1	0.87	0	0	0.86501
Q14247	Src substrate cortactin (Amplaxin) (Oncogene EMS1)	67.44	61.76957	5.116	6	2	1	0.87	0	0	0.87093
P47897	Glutamyl-tRNA synthetase (EC 6.1.1.18) (Glutamine-tRNA ligase) (GlnRS)	39.64	88.65521	6.771	1.54839	1	1	0.87	0	0	0.86592
P13667	Protein disulfide-isomerase A4 precursor (EC 5.3.4.1) (Protein ERp-72) (ERp72)	387.43	73.2291	4.813	14.4186	14	6	0.86	0.04	10.031	0.85663
Q08345	Epithelial discoidin domain-containing receptor 1 precursor (EC 2.7.1.112) (Epithelial dis	226.40 24	102.0325	6.394	5.36692	7	1	0.86	0	0	0.85833
Q9H173	Nucleotide exchange factor SIL1 precursor (BiP-associated protein) (BAP)	75.05	52.33712	5.149	4.98915	3	1	0.85	0	0	0.85025
P07384	Calpain-1 catalytic subunit (EC 3.4.22.52) (Calpain-1 large subunit) (Calcium-activated ne	51.64	82.46542	5.379	4.06162	3	1	0.85	0	0	0.85186
P62988	Ubiquitin	145.66	8.55962	7.578	39.4737	4	2	0.84	0.15	25.434	0.81769
P08581	Hepatocyte growth factor receptor precursor (EC 2.7.1.112) (HGF receptor) (Scatter factor)	58.29	157.7653	7.163	0.71942	2	1	0.82	0	0	0.82237
P09429	High mobility group protein 1 (HMG-1) (High mobility group B1)	35.82	24.91818	5.487	4.20561	2	1	0.82	0	0	0.81789
Q9Y5Y6	Suppressor of tumorigenicity 14 (EC 3.4.21.-) (Matriptase) (Membrane-type serine protease	569.32	96.98965	6.113	11.345	9	1	0.81	0	0	0.81008
O43707	Alpha-actinin-4 (Non-muscle alpha-actinin 4) (F-actin cross linking protein)	647.84 49	105.2446	5.158	16.4654	17	6	0.79	0.04	12.645	0.7885
P23284	Peptidyl-prolyl cis-trans isomerase B precursor (EC 5.2.1.8) (PPase) (Rotamase) (Cyclophi	42.38	22.78503	9.851	4.80769	1	1	0.78	0	0	0.78166
Q14393	Growth-arrest-specific protein 6 precursor (GAS-6)	345.15 24	81.67794	5.805	12.344	7	1	0.77	0	0	0.77027
Q02818	Nucleobindin-1 precursor (CALNUC)	883.37 73	53.84633	5.021	28.8503	18	4	0.76	0.03	7.4949	0.76109
Q8WUM4	Programmed cell death 6-interacting protein (PDCD6-interacting protein) (ALG-2-interacting	580.41 49	96.59035	6.107	18.318	15	4	0.75	0.03	7.9328	0.74833

表 4. Down-Regulated Proteins in Secretome of Human colon Cancer Cell Line SNU-C4 with Induced 5-FU Resistance (II)

Protein ID	Protein Name and Species	Score	MW [kDa]	pI	SC [%]	# Pept.	# (treated/control)	Avg.	Avg. SD (treated/control))	CV [%] (treated/control)	Median (treated/control)
P15529	Membrane cofactor protein precursor (Trophoblast leukocyte common antigen) (TLX) (CD46 ant)	78.09	44.74507	6.389	4.59184	3	1	0.75	0	0	0.75318
O00468	Agrin precursor	414.05 24	222.9035	6.036	5.33007	13	2	0.75	0.004	0.8509	0.74764
P05067	Amyloid beta A4 protein precursor (APP) (ABPP) (Alzheimer disease amyloid protein) (Cerebr	354.81 73	87.91444	4.586	12.5974	14	4	0.74	0.05	12.875	0.7292
P11021	78 kDa glucose-regulated protein precursor (GRP 78) (Immunoglobulin heavy chain-binding pr	1031.7 35	72.40248	4.921	28.2875	26	10	0.73	0.05	19.853	0.71693
P14625	Endoplasmin precursor (94 kDa glucose-regulated protein) (GRP94) (gp96 homolog) (Tumor rej	394.2	92.69645	4.611	14.0722	13	5	0.73	0.14	43.958	0.66947
Q12864	Cadherin-17 precursor (Liver-intestine-cadherin) (LI-cadherin) (Intestinal peptide-associa	233.13	92.49	4.818	7.09135	5	1	0.7	0	0	0.69585
P23229	Integrin alpha-6 precursor (VLA-6) (CD49f antigen) [Contains: Integrin alpha-6 heavy chain	102.28 24	127.7367	6.402	3.00885	4	2	0.7	0.05	9.6484	0.69823
P55809	Succinyl-CoA:3-ketoacid-coenzyme A transferase 1, mitochondrial precursor (EC 2.8.3.5) (So	119.55	56.5781	7.805	5.19231	3	1	0.68	0	0	0.68438
Q13217	Dnaj homolog subfamily C member 3 (Interferon-induced, double-stranded RNA-activated prote	299.79	58.00034	5.774	15.2778	10	4	0.65	0.04	11.581	0.64938
Q06481	Amyloid-like protein 2 precursor (Amyloid protein homolog) (APPH) (CDEI box-binding protei	134.54 24	87.92657	4.58	5.89777	6	2	0.62	0.03	6.4737	0.61925
O43405	Cochlin precursor (COCH-5B2)	473	60.07246	9.13	15.0909	7	2	0.61	0.13	29.061	0.58972
O94985	Calsyntenin-1 precursor	641.41	110.9782	4.67	9.88787	13	4	0.59	0.06	20.077	0.58138
Q15424	Scaffold attachment factor B (Scaffold attachment factor B1) (SAF-B) (HSP27 estrogen respo	100.12 35	103.0337	5.195	2.40437	2	1	0.56	0	0	0.55977
P19801	Amiloride-sensitive amine oxidase [copper-containing] precursor (EC 1.4.3.6) (Diamine oxid	272.42	85.6868	6.55	12.1172	7	2	0.49	0.04	11.989	0.48427
P16070	CD44 antigen precursor (Phagocytic glycoprotein I) (PGP-1) (HUTCH-I) (Extracellular matrix	81.09	82.01659	5.021	2.69542	3	1	0.45	0	0	0.44538

Ⅴ 5. Proteins identified in Secretomes of Human colon Cancer Cell Line SNU-C4 and 5-FU Resistant SNU-C4 (I)

Protein ID	Protein Name and Species	Score	MW [kDa]	pI	SC [%]	# Pept.
O14773	Tripeptidyl-peptidase I precursor (EC 3.4.14.9) (TPP-I) (Tripeptidyl aminopeptidase) (Lyso)	420	61.70378	5.976	21.492	8
Q9H4A4	Aminopeptidase B (EC 3.4.11.6) (Ap-B) (Arginyl aminopeptidase) (Arginine aminopeptidase)	373.63	73.23372	5.425	13.5385	7
P49327	Fatty acid synthase (EC 2.3.1.85) [Includes: [Acyl-carrier-protein] S-acetyltransferase (E	340.22	275.8502	5.975	3.82318	7
P07996	Thrombospondin-1 precursor	248.53 49	133.3211	4.569	7.69231	6
P35527	Keratin, type I cytoskeletal 9 (Cytokeratin-9) (CK-9) (Keratin-9) (K9)	231.92	62.31999	5.057	5.77849	2
P12814	Alpha-actinin-1 (Alpha-actinin cytoskeletal isoform) (Non-muscle alpha-actinin-1) (F-actin	209.61 24	103.5628	5.132	5.26906	5
Q12931	Heat shock protein 75 kDa, mitochondrial precursor (HSP 75) (Tumor necrosis factor type 1	202.7	80.3448	8.955	4.82955	4
P01024	Complement C3 precursor [Contains: Complement C3 beta chain; Complement C3 alpha chain; C3	185.83 24	188.5855	5.984	1.74384	2
O60568	Procollagen-lysine,2-oxoglutarate 5-dioxygenase 3 precursor (EC 1.14.11.4) (Lysyl hydroxyl	183.1	85.30169	5.642	9.21409	5
P04264	Keratin, type II cytoskeletal 1 (Cytokeratin-1) (CK-1) (Keratin-1) (K1) (67 kDa cytokerati	145.73	66.01801	8.821	8.55365	2
P04004	Vitronectin precursor (Serum spreading factor) (S-protein) (V75) [Contains: Vitronectin V6	131.06	55.06947	5.464	3.13808	1
Q9P2E9	Ribosome-binding protein 1 (Ribosome receptor protein) (180 kDa ribosome receptor homolog)	116.35 49	152.7798	9.286	3.12057	3
O43143	Putative pre-mRNA-splicing factor ATP-dependent RNA helicase DHX15 (EC 3.6.1.-) (DEAH box	116.21 24	91.67346	7.363	5.40881	5
P78371	T-complex protein 1 subunit beta (TCP-1-beta) (CCT-beta)	107.8	57.66322	6.002	6.92884	3
Q9Y4L1	150 kDa oxygen-regulated protein precursor (Orp150) (Hypoxia up-regulated 1)	105.39	111.4943	5.017	2.7027	3
P00338	L-lactate dehydrogenase A chain (EC 1.1.1.27) (LDH-A) (LDH muscle subunit) (LDH-M) (Prolif	105.21	36.81943	9.306	5.43807	2
P18065	Insulin-like growth factor-binding protein 2 precursor (IGFBP-2) (IBP-2) (IGF-binding prot	99.05	36.1978	8.924	11.5854	3
P54136	Arginyl-tRNA synthetase (EC 6.1.1.19) (Arginine-tRNA ligase) (ArgRS)	96.68	76.12916	6.258	5.15152	3
O43852	Calumenin precursor (Crocalbin) (IEF SSP 9302)	92.96	37.19758	4.321	4.7619	2
Q15046	Lysyl-tRNA synthetase (EC 6.1.1.6) (Lysine-tRNA ligase) (LysRS)	90.46	68.46076	5.919	4.85762	5
P48147	Prolyl endopeptidase (EC 3.4.21.26) (Post-proline cleaving enzyme) (PE)	89.22	81.62433	5.412	3.66197	2
Q92945	Far upstream element-binding protein 2 (FUSE-binding protein 2) (KH type splicing regulato	85.5	73.06305	8.839	2.68741	2

5. Proteins identified in Secretomes of Human colon Cancer Cell Line SNU-C4 and 5-FU Resistant SNU-C4 (II)

Protein ID	Protein Name and Species	Score	MW [kDa]	pI	SC [%]	# Pept.
P43251	Biotinidase precursor (EC 3.5.1.12)	84.61	59.73039	5.447	3.25048	1
Q13813	Spectrin alpha chain, brain (Spectrin, non-erythroid alpha chain) (Alpha-II spectrin) (Fod	84.412 43	285.1505	5.093	1.05178	3
Q08945	Structure-specific recognition protein 1 (SSRP1) (Recombination signal sequence recogniti	79.85	81.36655	6.457	3.66714	2
P12830	Epithelial-cadherin precursor (E-cadherin) (Uvomorulin) (Cadherin-1) (CAM 120/80) (CD324 a	79.7	97.85203	4.425	3.40136	3
Q06203	Amidophosphoribosyltransferase precursor (EC 2.4.2.14) (Glutamine phosphoribosylpyrophosph	77.81	58.16066	6.32	7.15667	3
P27695	DNA-(apurinic or apyrimidinic site) lyase (EC 4.2.99.18) (AP endonuclease 1) (APEX nucleas	77.4	35.80028	9.238	10.4101	2
P62805	Histone H4	76.12	11.22934	11.85	36.2745	4
P53634	Dipeptidyl-peptidase 1 precursor (EC 3.4.14.1) (Dipeptidyl-peptidase I) (DPP-I) (DPPI) (Ca	75.59	52.60655	6.592	2.59179	1
P10586	Receptor-type tyrosine-protein phosphatase F precursor (EC 3.1.3.48) (LAR protein) (Leukoc	73.283 54	212.9084	5.906	0.79072	1
P05546	Heparin cofactor II precursor (HC-II) (Protease inhibitor leuserin 2) (HLS2)	73.17	57.20527	6.442	4.20842	2
Q96HE7	ERO1-like protein alpha precursor (EC 1.8.4.-) (ERO1-Lalpha) (Oxidoreductin-1-Lalpha) (End	71.49	55.21337	5.387	2.5641	2
P45974	Ubiquitin carboxyl-terminal hydrolase 5 (EC 3.1.2.15) (Ubiquitin thioesterase 5) (Ubiquit	68.822 43	96.63767	4.765	3.84615	2
P02788	Lactotransferrin precursor (EC 3.4.21.-) (Lactoferrin) [Contains: Kalocin-1; Lactoferroxi	67.95	80.01362	9.605	1.26761	1
P34932	Heat shock 70 kDa protein 4 (Heat shock 70-related protein APG-2) (HSP70RY)	66.91	95.09561	5.033	4.52381	2
Q14152	Eukaryotic translation initiation factor 3 subunit 10 (eIF3 theta) (eIF3 p167) (eIF3 p180	64.15	166.8675	6.361	1.73661	2
P14866	Heterogeneous nuclear ribonucleoprotein L (hnRNP L)	63.95	60.71943	6.721	1.79211	1
Q96TA1	Niban-like protein (Meg-3)	61.89	83.14412	5.762	1.50068	1
P78504	Jagged-1 precursor (Jagged1) (hJ1) (CD339 antigen)	57.45	141.1785	5.658	0.90312	1
P02765	Alpha-2-HS-glycoprotein precursor (Fetuin-A) (Alpha-2-Z-globulin) (Ba-alpha-2-glycoprotein	56.95	40.09801	5.358	1.63488	1
Q86SQ6	Probable G-protein coupled receptor 123	56.51	139.8677	10.41	1.48438	2
Q92804	TATA-binding protein-associated factor 2N (RNA-binding protein 56) (TAFII68) (TAF(II)68)	55.38	62.02119	8.598	2.02703	1
O95622	Adenylate cyclase type V (EC 4.6.1.1) (ATP pyrophosphate-lyase 5) (Adenylyl cyclase 5) (Fr	54.45	102.4074	6.029	1.90157	2
P04066	Tissue alpha-L-fucosidase precursor (EC 3.2.1.51) (Alpha-L-fucosidase I) (Alpha-L-fucoside	54.22	53.42758	6.258	2.38612	1
O43278	Kunitz-type protease inhibitor 1 precursor (Hepatocyte growth factor activator inhibitor t	52.96	60.12788	5.872	3.21361	2

5. Proteins identified in Secretomes of Human colon Cancer Cell Line SNU-C4 and 5-FU Resistant SNU-C4 (III)

Protein ID	Protein Name and Species	Score	MW [kDa]	pI	SC [%]	# Pept.
O75874	Isocitrate dehydrogenase [NADP] cytoplasmic (EC 1.1.1.42) (Oxaloacetate decarboxylase) (52.84	46.91462	6.597	4.10628	2
P52799	Ephrin-B2 precursor (EPH-related receptor tyrosine kinase ligand 5) (LERK-5) (HTK ligand)	51.99	37.35596	9.749	9.30931	2
Q92769	Histone deacetylase 2 (HD2)	51.61	55.899	5.531	2.86885	2
P46940	Ras GTPase-activating-like protein IQGAP1 (p195)	50.702 43	189.761	6.055	1.26735	2
Q15437	Protein transport protein Sec23B (SEC23-related protein B)	50.16	87.39288	6.46	1.56454	1
O15230	Laminin alpha-5 chain precursor	48.682 43	411.9971	6.622	0.43302	1
Q16762	Thiosulfate sulfurtransferase (EC 2.8.1.1) (Rhodanese)	47.95	33.50488	6.932	5.40541	2
O75144	ICOS ligand precursor (B7 homolog 2) (B7-H2) (B7-like protein GI50) (B7-related protein 1)	47.79	33.84087	5.026	3.31126	1
Q95604	HLA class I histocompatibility antigen, Cw-17 alpha chain precursor (MHC class I antigen C)	47.592 43	41.61176	6.365	3.49462	2
Q9GZM7	Tubulointerstitial nephritis antigen-like precursor (Tubulointerstitial nephritis antigen-	47.48	53.72147	6.597	3.85439	2
Q8WU76	Sec1 family domain-containing protein 2 (Syntaxin-binding protein 1-like 1)	45.98	75.87742	6.224	2.48538	2
O94923	D-glucuronyl C5-epimerase (EC 5.1.3.-) (Heparin/heparan sulfate:glucuronic acid C5 epimera	45.572 43	70.41281	9.536	4.86224	2
P00558	Phosphoglycerate kinase 1 (EC 2.7.2.3) (Primer recognition protein 2) (PRP 2)	44.32	44.85423	9.208	6.73077	1
Q9H3P7	Golgi resident protein GCP60 (Acyl-CoA-binding domain-containing protein 3) (Golgi phospho	44.28	60.71004	4.881	4.55408	1
Q93052	Lipoma-preferred partner (LIM domain-containing preferred translocation partner in lipoma)	41.81	67.12937	7.839	2.45098	1
Q9NQW7	Xaa-Pro aminopeptidase 1 (EC 3.4.11.9) (X-Pro aminopeptidase 1) (X-prolyl aminopeptidase 1	40.9	70.42645	5.335	1.44695	1
O00571	ATP-dependent RNA helicase DDX3X (EC 3.6.1.-) (DEAD box protein 3, X-chromosomal) (Helicas	38.9	73.46611	6.82	1.66415	1
Q14118	Dystroglycan precursor (Dystrophin-associated glycoprotein 1) [Contains: Alpha-dystroglyca	38.49	97.86187	9.356	0.67039	1
P09622	Dihydrolipooyl dehydrogenase, mitochondrial precursor (EC 1.8.1.4) (Dihydrolipoamide hydr	37.11	54.68614	8.631	2.55403	1
P52597	Heterogeneous nuclear ribonucleoprotein F (hnRNP F) (Nucleolin-like protein mcs94-1)	36.64	45.85394	5.274	2.41546	1
P17931	Galectin-3 (Galactose-specific lectin 3) (Mac-2 antigen) (IgE-binding protein) (35 kDa lec	35.73	26.09804	9.199	2.81124	1
Q92485	Acid sphingomyelinase-like phosphodiesterase 3b precursor (EC 3.1.4.-) (ASM-like phosphodi	33.33	51.23734	5.272	3.51648	1
Q9H4M9	EH-domain-containing protein 1 (Testilin) (hPAST1)	32.03	60.64569	6.363	2.62172	1
P35613	Basigin precursor (Leukocyte activation antigen M6) (Collagenase stimulatory factor) (Extr	31.49	42.57321	5.311	2.33766	1

표 5. Proteins identified in Secretomes of Human colon Cancer Cell Line SNU-C4 and 5-FU Resistant SNU-C4 (IV)

Protein ID	Protein Name and Species	Score	MW [kDa]	pI	SC [%]	# Pept.
Q16610	Extracellular matrix protein 1 precursor (Secretory component p85)	31.17	62.23187	6.263	1.85185	1
O14662	Syntaxin-16 (Syn16)	31.06	37.17931	5.705	2.46154	1
Q9UJV9	Probable ATP-dependent RNA helicase DDX41 (EC 3.6.1.-) (DEAD box protein 41) (DEAD box pro	30.47	70.47725	6.414	1.60772	1

Protein Name and Species: Contains name and species of the detected proteins.

Accession: Designation delivered from Mascot for a protein.

Score: Shows the Mascot score of the protein identification.

MW [kDa]: Molecular weight in kDa of the respective protein.

pI: Isoelectric point (pI) of the protein, calculated from its amino acid sequence.

SC [%]: Sequence coverage in percent, calculated from the identified peptides of the respective protein.

Pept.: Number of identified peptides obtained for a particular protein.

(regulation ratio name): Number of relevant peptides with a valid regulation for the regulation ratio with the specified name. (ICPL labeling 되어있는 수)

Avg. +/- SD (regulation ratio name): Average regulation value and the standard deviation of the average.

CV [%] (regulation ratio name): Coefficient of variance in percent derived from the average regulation and the standard deviation of the peptide regulations.

Median (regulation ratio name): Median regulation value.

RMS [ppm]: The RMS value of the deltas between the calculated and experimental masses of the peptides, which belong to a particular protein.

Abs. Inten.: Sum of all absolute intensity values of the peptides, which belong to a particular protein. This column is available for ESI based workflows and the LC-ESI-MALDI workflow.

Area: Sum of all area values related to 100 laser shots for all peptides, which belong to a particular protein. This column is available for MALDI based workflows.

Inten.: Sum of all intensity values related to 100 laser shots for all peptides, which belong to a particular protein. This column is available for LC-MALDI und LC-MALDI SILE workflows.

S/N: Sum of all S/N-values for all peptides, which belong to a particular protein.

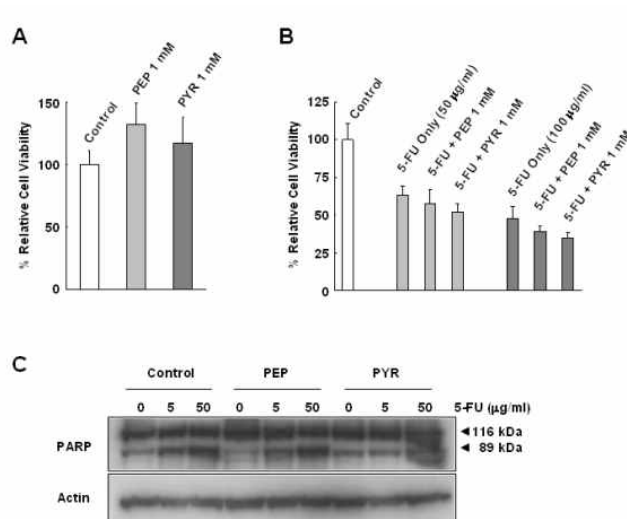


그림 14. Alpha-enolase의 substrate인 phosphoenolpyruvate와 pyruvate kinase의 substrate인 pyruvate의 5-FU 감수성에 미치는 영향

- Alpha-enolase의 substrate인 phosphoenolpyruvate와 pyruvate kinase의 substrate인 pyruvate는 대장암세포주의 세포증식을 촉진시킬 수 있었으나 5-FU가 존재하는 상태에서는 오히려 세포 증식을 억제하는 방향의 효과를 보여 줌 (그림 14).

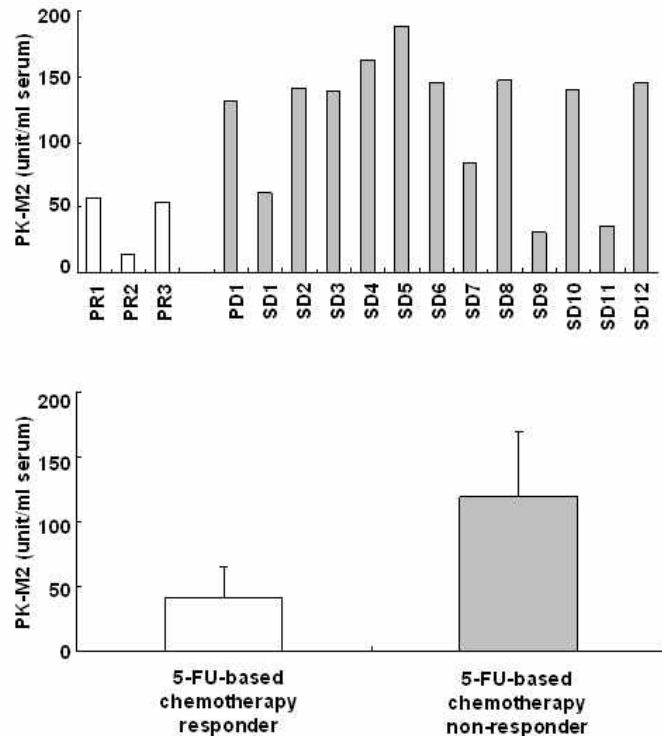


그림 15. 5-FU를 기본으로 하는 항암화학요법을 받은 대장암환자의 혈청 단백질 내의 pyruvate kinase 양과 항암제 반응성의 관계

- 5-FU 내성이 유도된 대장암세포주의 분비단백질 분석을 통해 동정된 여러 glycolysis 관여 효소 중 rate determining step의 효소인 pyruvate kinase의 양을 실제 5-FU를 투여 받은 대장암 환자의 혈청 단백질내에 측정하였음 (그림 15). 흥미롭게도 5-FU 내성 대장암세포주의 분비 단백질내에 많은 양이 존재하였던 pyruvate kinase는 실제 임상 대장암환자 중 5-FU에 대한 반응성이 적었던 환자의 혈청 단백질 내에 대조군에 비해 많은 양으로 존재하고 있음이 확인 되었음 (그림 15).

5) Analysis of Low Mass Metabolites in Serum using ToF-SIMS and GC-MS for the Prediction for Chemotherapy Response of Colorectal Cancer Patient

- 기존의 MALDI, LC-MS/MS를 이용한 분석은 주로 단백질체 그 자체에 한정되어져 있었음. 그러나 단백질체가 가지는 생물학적인 정보의 양보다는 대사체가 가지고 있는 정보의 양이 훨씬 방대할 것이 예상됨. 새로운 시도로서 기존에 반도체 표면 처리 상태를 검증하기 위해 사용되었던 SIMS (이차이온질량분석기)를 이용 저분자량의 대사체 또는 고분자의 절편화 양상을 연구하기 시작하였음.
- 5-FU를 주축으로 하는 항암화학요법에 대한 서로 다른 반응성을 보인 대장암환자들로부터 얻은 혈청을 슬라이드 클래스에서 말린 후 SIMS를 통해 분석된 질량 스펙트럼을 분석하였음 (그림 16). 서로 다른 항암제 반응성을 보인 환자(그림 16 A)의 혈청으로부터 얻어진 질량 스펙트럼상의 질량값들은 PCA의 통계적 방법에 의해 분류하였고 항암제 반응성이 있는 세명 (PR: partial response)의 경우 2명은 대장암 환자의 일반 그룹과 분리되었으나 1명은 분리가 되지 않았음 (그림 16 B).

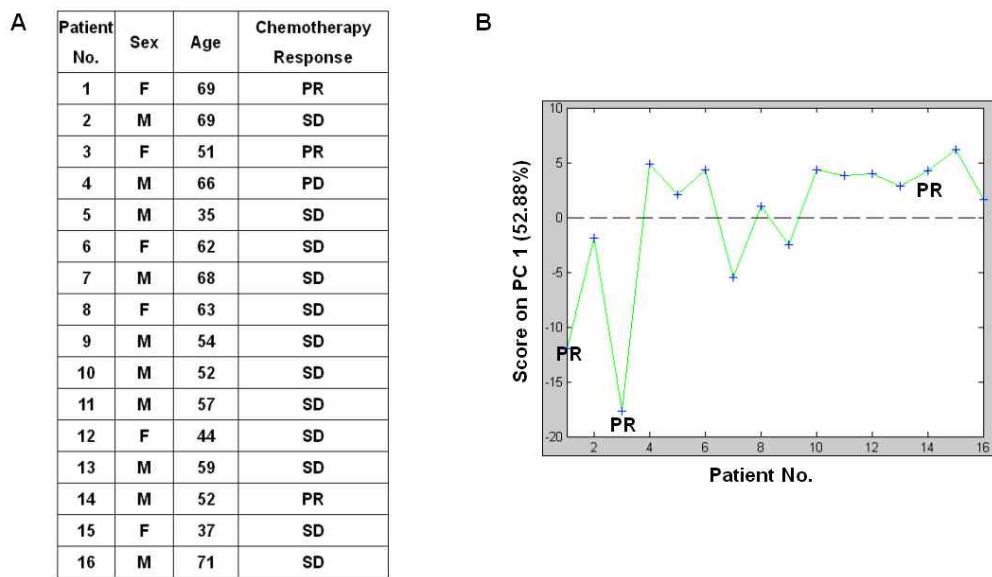


그림 16. 5-FU를 주축으로 하는 화학항암요법에 대해 서로 다른 반응성을 보이는 환자의 혈청에 대한 SIMS 분석과 SIMS 분석을 통해 얻어진 각각의 질량값을 이용한 PCA 분석 결과

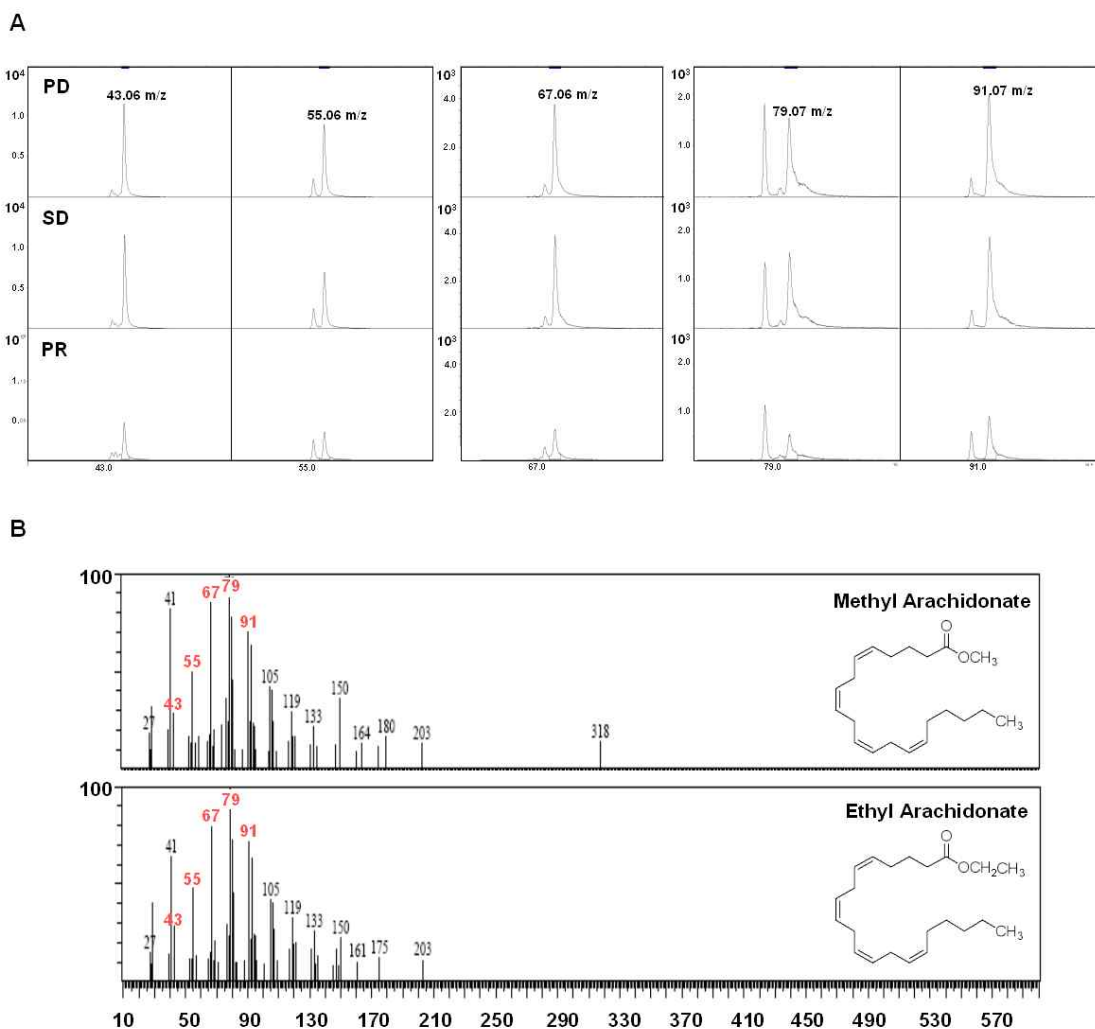


그림 17. 5-FU를 주축으로 하는 화학항암요법에 대해 서로 다른 반응성을 보이는 환자의 혈청에 대한 SIMS 질량 스팩트럼과 GC-MS를 통해 동정되어진 혈청 내의 대사체 중 methyl arachidonate, ethyl arachidonate 의 GC-MS 질량 분석 양상

- 5-FU를 주축으로 하는 화학항암요법에 대해 서로 다른 반응성을 보이는 환자의 혈청에 대한 SIMS 질량 스팩트럼을 비교한 결과 항암제 반응성에 따른 특정 질량값의 intensity 변화가 관찰됨 (그림 17 A).
- GC-MS를 통해 동정되어진 혈청 내의 대사체 중 (표 6) methyl arachidonate, ethyl arachidonate의 GC-MS 질량분석값과 SIMS 분석을 통해 얻어진 각각의 질량분석값 간의 일치가 관찰됨 (그림 17 B)

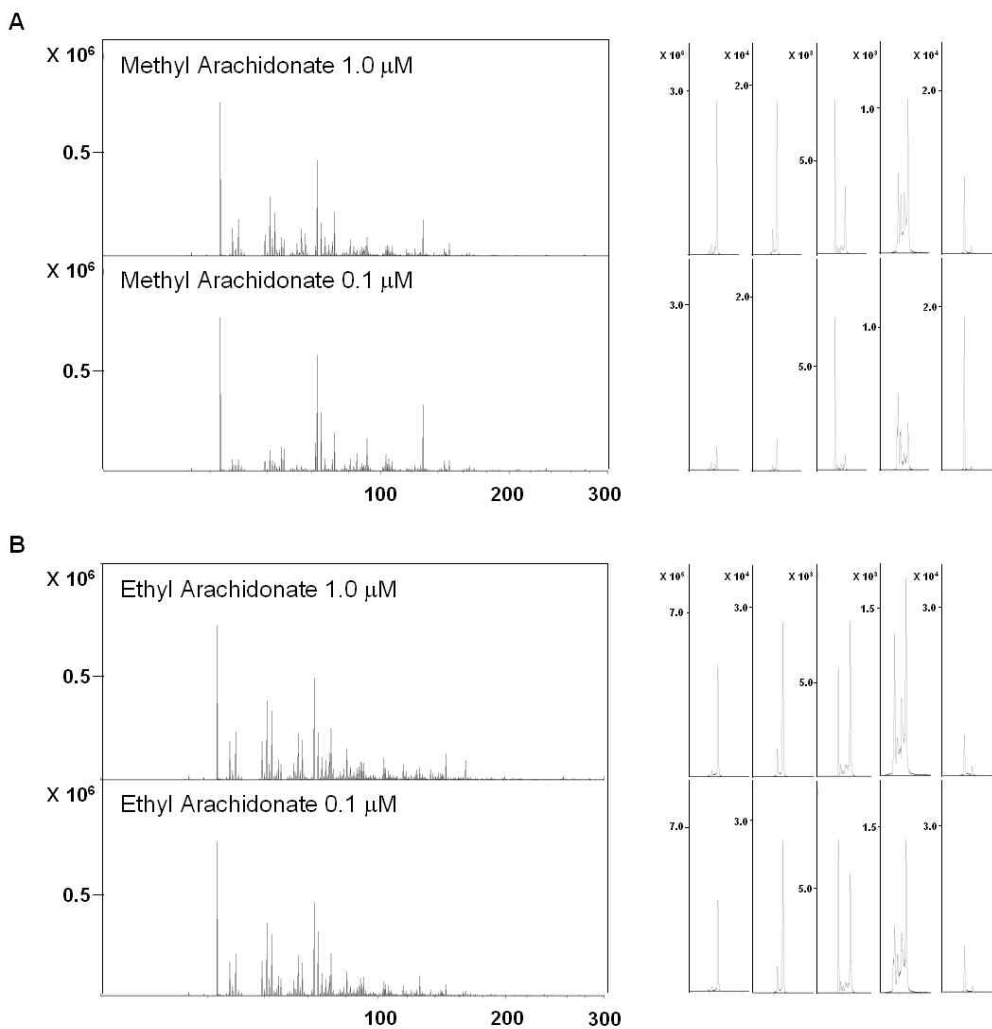


그림 18. Methyl arachidonate와 ethyl arachidonate의 농도에 따른 SIMS 질량분석 결과

- SIMS 분석결과와 GC-MS 분석결과의 일치를 확인하기 위해 서로 다른 두 농도의 methyl arachidonate, ethyl arachidonate를 슬라이드 위에서 건조한 후 SIMS로 분석하였음. 이때 두 대사체 모두 농도가 증가함에 따라 그림 17 A에서 확인 되었던 질량 peak의 intensity가 증가함을 확인할 수 있었음 (그림 18).
- 현재는 5-FU를 주축으로 하는 화학항암요법에 대해 서로 다른 반응성을 보이는 16명의 대장암 환자의 혈청내에 존재한 arachidonate의 양을 COX enzyme activity 측정을 통해 간접적으로 정량하고 있으며, 이와 동시에 arachidonate에 상대적인 methyl arachidonate, ethyl arachidonate의 COX substrate activity를 측정하고 있음.

§ 6. GC-MS Analysis of Serum from Colorectal Cancer Patient

Molecular Weight	CAS No.	Name of Chemical Compound Identified
216	0-0-0	TRICYCLO[8.6.0.0(2,9)]HEXADECA-3,15-DIENE,TRANS-2,9-TRANSOID-9,10-TRANS-1,10
220	61177-15-9	Cyclobuta[1,2:3,4]dicyclooctene
222	17151-9-6	1,2-Bis(trimethylsilyl)benzene
	1873-88-7	1,1,1,3,5,5-Heptamethyltrisiloxane
	13183-70-5	Silane, 1,4-phenylenebis(trimethyl- (CAS) 1,4-Bis(trimethylsilyl)benzene
	0-0-0	BENZENE
224	4674-22-0	Benzene, 1,2,3,5-tetramethyl-4,6-dinitro- (CAS) Dinitroisodurene
227	638-58-4	Tetradecanamide
	0-0-0	N-TETRADECANOIC ACID AMIDE
236	52-31-3	2,4,6(1H,3H,5H)-Pyrimidinetrione, 5-(1-cyclohexen-1-yl)-5-ethyl- (CAS) Cyclobarbital
242	124-10-7	Tetradecanoic acid, methyl ester (CAS) Methyl myristate
	0-0-0	ADAMANTANE-1-(3,3-DICHLOROPROPYN-1-YL)
243	74421-44-6	1H-Purin-6-amine
252	123-69-3	Oxacycloheptadec-8-en-2-one (CAS) Ambrettolide
255	629-54-9	Hexadecanamide (CAS) Amide 16
263	0-0-0	UNDECANSUAREAMID
264	17364-31-7	4,7,10-Hexadecatrienoic acid, methyl ester (CAS) METHYL 4,7,10-HEXADECATRIENOATE
266	1577-52-2	9,12-Octadecadien-1-ol (CAS) OCTADECA-9,12-DIEN-1-OL
	2462-80-8	9,12-Hexadecadienoic acid, methyl ester (CAS) METHYL-9,12-HEXADECADIENOATE
266	1577-52-2	9,12-Octadecadien-1-ol (CAS) OCTADECA-9,12-DIEN-1-OL
	2462-80-8	9,12-Hexadecadienoic acid, methyl ester (CAS) METHYL-9,12-HEXADECADIENOATE
268	1120-25-8	9-Hexadecenoic acid, methyl ester, (Z)- (CAS) Methyl palmitoleate
	56875-67-3	7-Hexadecenoic acid
270	112-39-0	Hexadecanoic acid, methyl ester (CAS) Methyl palmitate
	5129-60-2	Pentadecanoic acid, 14-methyl-, methyl ester
272	0-0-0	BICYCLO[10.8.0]EICOSA-1(12),14,18-TRIEN
278	22117-8-4	5,8,11-Heptadecatrienoic acid, methyl ester (CAS) METHYL HEPTADECA-5,8,11-TRIENOATE

Molecular Weight	CAS No.	Name of Chemical Compound Identified
281	301-2-0	9-Octadecenamide, (Z)- (CAS) OLEOAMIDE
282	30262-98-7	1,3-Diphenyl-3-trimethylsilyl-1-propanone
283	124-26-5	Octadecanamide (CAS) Stearamide
284	1731-92-6	Heptadecanoic acid, methyl ester (CAS) Methyl heptadecanoate
	6929-4-0	Hexadecanoic acid, 15-methyl-, methyl ester (CAS) METHYL-15-METHYL HEXADECANOATE
290	18202-24-9	10,13-Octadecadiynoic acid, methyl ester (CAS) METHYL 10,13 OCTADECADIYNOATE
294	2462-85-3	OCTADECA-9,12-DIENOIC ACID METHYL ESTER
	112-63-0	9,12-Octadecadienoic acid (Z,Z)-, methyl ester (CAS) Methyl linoleate
	2566-97-4	9,12-Octadecadienoic acid, methyl ester, (E,E)-

	26543-36-2	10-Octadecynoic acid, methyl ester (CAS) METHYL-10-OCTADECYNOATE
	56554-62-2	10,13-Octadecadienoic acid, methyl ester
	1120-32-7	9-Octadecynoic acid, methyl ester (CAS) METHYL OCTADEC-9-YNOATE
	56599-58-7	8,11-Octadecadienoic acid, methyl ester (CAS) METHYL 8,11-OCTADECADIENOATE
	119043-14-0	1-bromo-3-(epoxymethylene)-4-[(t-butyl)dimethylsilyloxy]butane
296	112-62-9	9-Octadecenoic acid (Z)-, methyl ester (CAS) Methyl oleate
	57396-98-2	7-Octadecenoic acid, methyl ester (CAS) METHYL OCTADEC-7-ENOATE
	2345-29-1	8-Octadecenoic acid, methyl ester (CAS) METHYL OCTADEC-8-ENOATE
	2777-58-4	6-Octadecenoic acid, methyl ester, (Z)- (CAS) Methyl petroselinate
	52355-31-4	6-Octadecenoic acid, methyl ester (CAS) Methyl 6-octadecenoate
	2462-84-2	9-Octadecenoic acid, methyl ester (CAS) METHYL OCTADEC-9-ENOATE
297	58185-32-3	NONADECANAMIDE
298	112-61-8	Octadecanoic acid, methyl ester (CAS) Methyl stearate
	5129-61-3	Heptadecanoic acid, 16-methyl-, methyl ester (CAS) Methyl isostearate
301	7236-36-4	Erythran-16-ol, 1,6-dihydro-3,15-dimethoxy-, (3.beta.)- (CAS) Dihydroerysodine
308	544-35-4	Ethyl linoleate
312	0-0-0	3,3-DIMETHYL-4-METHYLENE-1,2-BIS(TRIMETHYLSILYLOXYMETHYL)-CYCLOCOPENTENE
318	2566-89-4	Methyl arachidonate
319	0-0-0	PENTADECANSUAREAMID, 15-BROMO-

Molecular Weight	CAS No.	Name of Chemical Compound Identified
322	2463-2-7	11,14-Eicosadienoic acid, methyl ester (CAS) METHYL-11,14-EICOSADIENOATE
324	98540-95-5	10-hydroxy-10-acetylanthrone trimethylsilyl ether
332	1808-26-0	5,8,11,14-Eicosatetraenoic acid, ethyl ester, (all-Z)- (CAS) Ethyl arachidonate
342	0-0-0	PENTAMETHYLCYCLOCOPENTADIENYL-(N,N,N'-TRIMETHYL)-O-PHENYLENDIAMINE-N'-O-NICKEL
344	6068-80-0	QUERCETIN 7,3',4'-TRIMETHOXY Benz[e]azulene-3,8-dione,
348	25536-74-7	5-[(acetoxy)methyl]-3a,4,6a,7,9,10,10a,10b-octahydro-3a,10a-dihydroxy-2,10-dimethyl-, (3
	3618-20-0	Benzoic acid, 2,5-bis(trimethylsiloxy)-, trimethylsilyl ester (CAS) GENTISIC ACID-TRITMS
370	3782-85-2	2,6-DIHYDROXYBENZOIC ACID 3TMS
	3618-20-0	Benzoic acid, 2,5-bis(trimethylsiloxy)-, trimethylsilyl ester (CAS) GENTISIC ACID-TRITMS
374	566-78-9	Pregn-5-en-20-one, 21-(acetoxy)-3-hydroxy-, (3.beta.)-
	55282-68-3	1,1':3',1"-Tercyclopentane, 2'-dodecyl- (CAS) 1,3-DICYCLOCOPENTYL-2-DODECYLCYCLOCOPENTANE
	61103-5-7	Androst-4-ene-3,17-dione
386	57-88-5	Cholest-5-en-3-ol (3.beta.)- (CAS) Lanol
	0-0-0	17-(1,5-DIMETHYL-HEXYL)-10,13-DIMETHYL-2,3,4,5,8,9,10,11,12,13,14,15,16,17-TETRA
	20780-35-2	Cholest-14-en-3-ol, (3.beta.,5.alpha.)-

	22033-82-5	Cholestan-6-one
398	17608-76-3	Ergosta-7,22-dien-3-ol, (3. β .,22E)- (CAS) 5,6-Dihydroergosterol
401	57397-3-2	Androsta-1,4-dien-3-one
404	0-0-0	Methyl ester of (1Z,2S,3E,7E,11Z,13R)-13-Acetoxy-2,16-epoxy-16-oxocembra-1(15),3,7,11,-te traen-20-oic acid
414	83-47-6	Stigmast-5-en-3-ol, (3. β .,24S)- (CAS) Clionasterol
415	54548-14-0	Cholestan-2-amine
	55331-90-3	Cholestan-2-amine, N,N-dimethyl- (CAS) 2.ALPHA.-DIMETHYLAMINOCHOLESTANE
416	0-0-0	ACETIC ACID 17-ACETOXY-4,4,10,13-TETRAMETHYL-7-OXO-2,3,4,7,8,9,10,11,12,13,14,1 5

Molecular Weight	CAS No.	Name of Chemical Compound Identified
418	10588-87-1	Hexadecanoic acid
430	0-0-0	3,17-bis(trimethylsilyloxy)-5. α .-androsta-1,3,16-triene
	59-2-9	Vitamin E
	4707-85-1	CHOLEST-4-ENE, 3.BETA.-(METHOXYMETHOXY)-
	54498-52-1	Cholestan-7-one
	75023-18-6	A-Norcholestane-3-carboxylic acid, 2-oxo-, methyl ester
	80955-71-1	4-[p-pentyl-p-(p-propylcyclohexyl)]cyclohexyl-1,1'-biphenyl
	71724-73-7	2,2'-Oxy bis(3-phenyl-1-2H-benzopyran)
438	109007-87-6	Iron, monocarbonyl-(1,3-butadiene-1,4-dicarboxylic acid, diethyl ester) a,a'-dipyridyl
440	511-61-5	9,19-Cyclolanost-25-en-3-ol, 24-methyl-, (3. β .,24S)- (CAS) Cycloaudenol
	1449-9-8	9,19-Cyclolanostan-3-ol, 24-methylene-, (3. β .)- (CAS) 24-Methylenecycloartanol
445	56196-76-0	Phosphonic acid, [1-(acetylamino)-2-[4-(acetoxy)phenyl]ethyl]-, bis(trimethylsilyl) ester
446	41721-93-1	CHOLESTANE-3,5-DIOL, 5-ACETATE
	57156-79-3	Cholestane, 3-(2-methoxyethoxy)-, (3. β .,5. α .)- (CAS) 3. β .-{(1'-Methoxyethoxy)-5. α .-cholestane}
458	56114-62-6	Silane
		ACETIC ACID
467	0-0-0	10,13-DIMETHYL-17-(1-METHYL-4-OXO-4-[1,2,4]TRIAZOL-1-YL-BUTYL)-2,3, 4
472	7695-91-2	ALPHA-TOCOPHEROL-ACETAT (VITAMIN E ACETAT)
	37148-65-5	Benzeneacetic acid, . α .,3,4-tris[(trimethylsilyl)oxy]-, trimethylsilyl ester
474	69833-71-2	Pregn-4-ene-3,20-dione
475	0-0-0	3-HYDROXYBROMAZEPAM 2TMS PK
476	22393-97-1	9-Hexadecenoic acid, 9-hexadecenyl ester, (Z,Z)- (CAS) 9-CIS-HEXADECENYL-9-CIS-HEXADECENOATE
	0-0-0	25,26,27-TRISNOR-3.BETA.-ACETOXY-24-CHLORO-4,4,14.ALPHA.-TRIMET HYL-9,19-CYCLO-5.ALPHA.
477	0-0-0	5-(4'-Acetamidobutyl)-1-acetyl-1,5-diazabicyclo[5.4.0]heptacosane-6,15-dione
478	5211-17-6	Cholestan-3-ol, methyl carbonodithioate

Molecular Weight	CAS No.	Name of Chemical Compound Identified
------------------	---------	--------------------------------------

	0-0-0	3,10-DIHYDROXYDODECANOIC 4TMS
521	56211-33-7	Pregnane-11,20-dione
522	129456-83-3	12-chloromercuriotara-8,11,13-trien-13-ol
525	0-0-0	26-ACETAMIDO-3-ACETOXY-16-ETHYLUFUROSTA-5,20-DIENE
527	54623-29-9	Adenosine
532	109629-49-4	(5e/z,7e/z,11e/z)-8-[(tert-butyl)dimethylsilyl]-10-[(tert-butyl)dimethylsilyloxy]-2,6,12,16-tetramethyl-9-oxaheptadeca-2,
	541-1-5	Heptasiloxane, hexadecamethyl- (CAS) Hexadecamethylheptasiloxane
537	56247-57-5	ETHYLDENEPEPHTHIODIOLONE A
538	119110-38-2	PROPANEDIAMIDE
541	54623-30-2	Adenosine
546	69822-60-2	Muco-inositol tri-N-octaneboronate
	69814-45-5	Myo-inositol tri-N-octaneboronate
548	4410-33-7	BENZENEACETAMIDE
		Benzene propanamide,
549	55622-38-3	N-[4-[acetyl-1-propenylamino]butyl]-4-methoxy-N-[3-[[3-(4-methoxyphenyl)-1-oxo-2-propenyl]
551	32352-57-1	Adenosine
554	22261-14-9	Molybdenum
556	0-0-0	TETRATRIACONTAN
560	130932-15-9	(1'RS,2'RS)-3-[(tert-butyl)dimethylsilyl]-1-((tert-butyl)dimethylsilyloxy)-10-methyl-6-methylidene-1-[2'-methyl-2'-(4"-meth
562	0-0-0	(-) O-Acetyl-N-benzoyl Buxidienine
	72439-79-3	3-Ethoxy-1,1,1,7,7,7-hexamethyl-3,5,5-tris(trimethylsiloxy)tetrasiloxane
564	15093-99-9	5.beta.-Cholan-24-oic acid, 3-oxo-7.alpha.,12.alpha.-bis(trimethylsiloxy)-, methyl ester
	0-0-0	(+)-Semperviraminol
565	0-0-0	cyano 2-(4-methylphenylsulfide)-3,4,6-tri-O-benzyl-β-C-glucoside
574	56484-75-4	Benzyl 2'-O-methylphysodate
576	118227-59-1	(2R,4S,5S,6S,8R)-5-[(tert-Butyldimethylsilyl)oxy]-4,6-dimethoxy-8-(1,3-dithian-2-yl)-1-iodo-2-methylnonane
	71579-69-6	3-Isopropoxy-1,1,1,7,7,7-hexamethyl-3,5,5-tris(trimethylsiloxy)tetrasiloxane
	17909-39-6	Bis(heptamethylcyclotetrasiloxyl)siloxane

Molecular Weight	CAS No.	Name of Chemical Compound Identified
582	81827-2-3	ent-1.alpha.,13-Diacetoxy-10-hydroxy-3.beta.-thiobenzoyloxy-20-norgibberell-16-ene-7,19-dioic acid 7-methyl ester 19
584	0-0-0	methyl 11,12,19-tri(triperdeuteriomethylsiloxy)eicosan-5(Z),8(Z),14(Z)-trienoate
586	0-0-0	2-TERT-BUTYL-4,6-BIS(3,5-DI-TERT-BUTYL-4-HYDROXYBENZYL)PHENOL
	0-0-0	tert-butyl 3d(3,5/4)-3,4,5-o-triethylsilyl-3,4,5-trihydroxy-6-oxocyclohex-1-enecarboxylate
592	556-68-3	HEXADECAMETHYLCYCLOOCTASILOXANE
	30384-40-8	7H-9,11B-EPOXY-5A,13A-PROPANOPIHENANTHRO[2,1-F][1,4]OXAZEPIN-3(4H)-ONE, 12-(ACETY
595	32206-68-1	Pregn-20-one, 3,11,21-tris[(trimethylsilyl)oxy]-, O-methyloxime, (3.alpha.,5.beta.,11.beta.)-
597	0-0-0	[(3S,4S,(1'R)]-3-[1-(tert-Butyldimethylsilyl)oxy]ethyl]-1-[(phenylselenyl)(tert-butyl)oxycarbonyl)methyl]-4-[(vinyldimethylsilyl)oxy]propane
	0-0-0	2-METHOXY-4-[2,2,3,3,3-PENTAFLUORO-1,1-BIS(TRIFLUOROMETHYL)PROPYL]PROPYL

		OPYL]-6-
598	14917-72-7	BETA.-D-ALLOPYRANOSIDE
	54142-23-3	15-METHYL PGF2A ME ESTER 3TMS
604	104370-25-4	MILBEMYCIN B
605	55320-13-3	Tetracosane, 12-decyl-12-nonyl- (CAS) 12-N-NONYL-12-N-DECYLTRACOSANE
607	57325-73-2	3-Methyloxime, tris(trimethylsilyl) derivative of 17.alpha.,20.beta.,21-Trihydroxy-4-pregnene-3,11-dione
	57325-72-1	Pregn-4-ene-3
610	0-0-0	4-HYDROXYANTIPYRINEGLUCURONIC METHYLESTER (TMS DERIVATIVE)
629	59403-25-7	6-OXO-PGF1A MOX ME 3TMS
638	131226-66-9	(+)-(2S,4'R,6'R)-1-(10-tert-Butyl-dimethylsilyloxy-1-trimethylsilyloxy-4,6-diphenyl-5-decylideneamino)-2-methoxymethyl
	32221-73-1	Silane
658	34141-0-9	.ALPHA.-D-GALACTOPYRANOSYL-(1 TO 6).-ALPHA.-D-GLUCOPYRANOSYL(1 TO 2).-BETA.-D-FRUCTOFU

Molecular Weight	CAS No.	Name of Chemical Compound Identified
662	77369-55-2	Bis(hexafluorobutryl)-N(eps)-cyclohexyllysine propyl ester
666	556-71-8	OCTADECAMETHYLCYCLONASILOXANE
565	0-0-0	cyano 2-(4-methylphenylsulfide)-3,4,6-tri-O-benzyl-beta-C-glucoside
574	56484-75-4	Benzyl 2'-O-methylphysodate
576	118227-59-1	(2R,4S,5S,6S,8R)-5-[(tert-Butyldimethylsilyl)oxy]-4,6-dimethoxy-8-(1,3-dithian-2-yl)-1-iodo-2-methylnonane
	71579-69-6	3-Isopropoxy-1,1,1,7,7-hexamethyl-3,5,5-tris(trimethylsiloxy)tetrasiloxane
	17909-39-6	Bis(hexamethylcyclotetrasiloxyl)siloxane
		L-Phenylalanine,
682	56772-21-5	N-[N-[N2,N5-bis(trifluoroacetyl)-L-ornithyl]-O-(trifluoroacetyl)-D-allothreonyl]-, methyl ester
695	57326-16-6	GLYCOCHOLIC ACID METHYL ESTER TMS
703	55256-9-2	Triacontane, 11,20-didecyl- (CAS) 11,20-Di-n-decyltriacontane
	55256-7-0	Tetratriacontane, 17-hexadecyl- (CAS) 17-n-Hexadecyltetracontane
724	56053-1-1	Ergostane-5,25-diol, 3,6,12-tris[(trimethylsilyl)oxy]-, 25-acetate,
728	57326-11-1	Silane
740	18772-36-6	EICOSAMETHYLCYCLODECASILOXANE
800	71449-67-7	Bis(hexamethylcyclotetrasiloxyl)hexamethyltrisiloxane
805	71641-45-7	D-Glucose, O-(phenylmethyl)oxime, 2,3,4,5,6-pentabenoate (CAS)
806	21238-34-6	Iditol, hexabenoate,
811	0-0-0	2-{2-(4-TERT-BUTYL-BENZYL)-3-(4-TERT-BUTYL-PHENYL)-2-[(DICYCLOHEXYLCARBAMOYL)-ME
850	0-0-0	D-GLUCOSE-N-PERBENZOYL O-BENZYLOXIME
888	18919-94-3	TETRACOSAMETHYLCYCLODODECASILOXANE
980	0-0-0	[HAPTO-5-(1,3-DI-TERT-BUTYL-CYCLOPENTADIENYL-RHODIUM)-TRIS(PENTACARBONYLCHROMIUM)]
1215	0-0-0	nickel (II)-bis[2-(heptafluorobutanoyl)-(+)-cholest-4-en-2-onate]
9999	0-0-0	Silicone grease
	0-0-0	SILIKONFETT SE30 (GREVELS)

6) Up-regulated HSP27 in Human Breast Cancer Cell Line SK-BR-3 with Herceptin Resistance

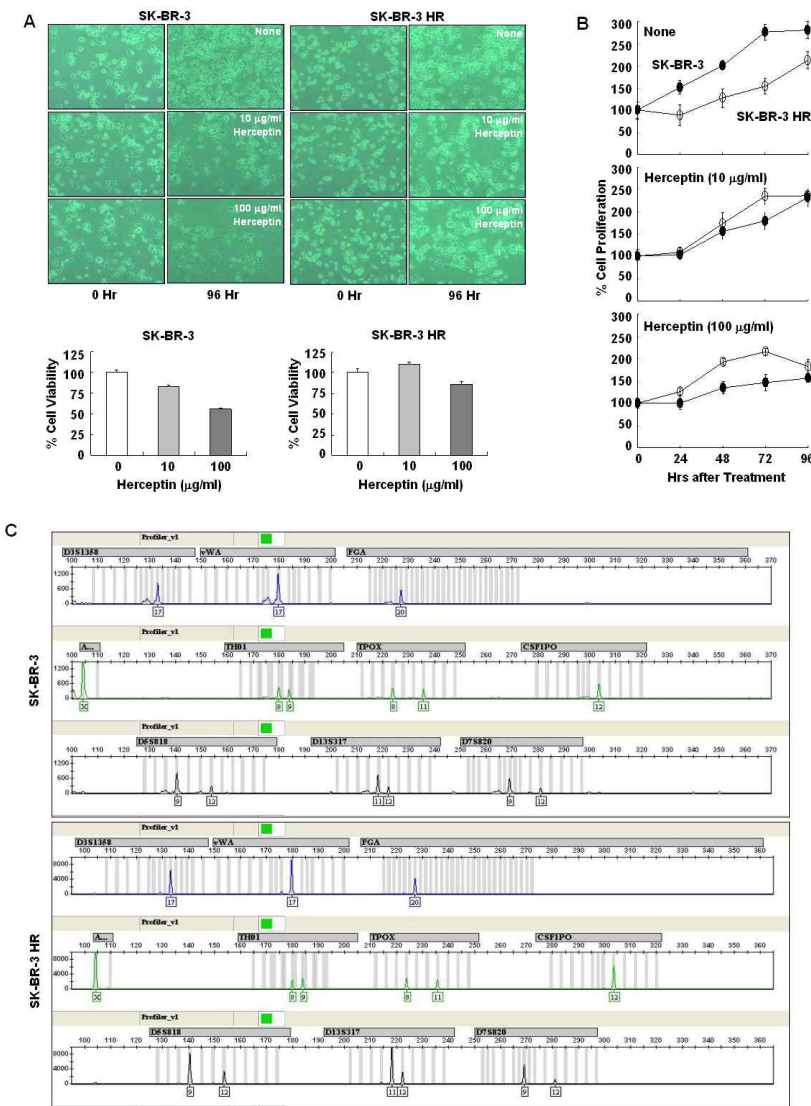


그림 19. Herceptin 내성이 유도된 유방암세포주 SK-BR-3의 확립

- 대장암세포주내의 5-FU 내성관련 단백질의 동정 및 연구와 더불어 다른 고형암에서의 항암제 내성 모델에 대한 연구가 병행되었음. 유방암세포주의 항암화학제가 아닌 humanized monoclonal antibody인 Herceptin에 대한 내성 연구를 모델로 선택하였음.
- 대장암세포주를 통한 *in vitro* 연구모델과 같이 일차적으로 Her2 발현이 높고 Herceptin에 감수

성이 높은 SK-BR-3로부터 새로운 Herceptin 내성 세포주를 확립하였음 (그림 19). 새로운 Herceptin 내성 세포주는 Herceptin이 존재하는 상태에서도 그 내성이 유지되었으며 (그림 19 A, B) 모세포주와는 유전적으로 동일한 세포주임이 입증됨 (그림 19 C)

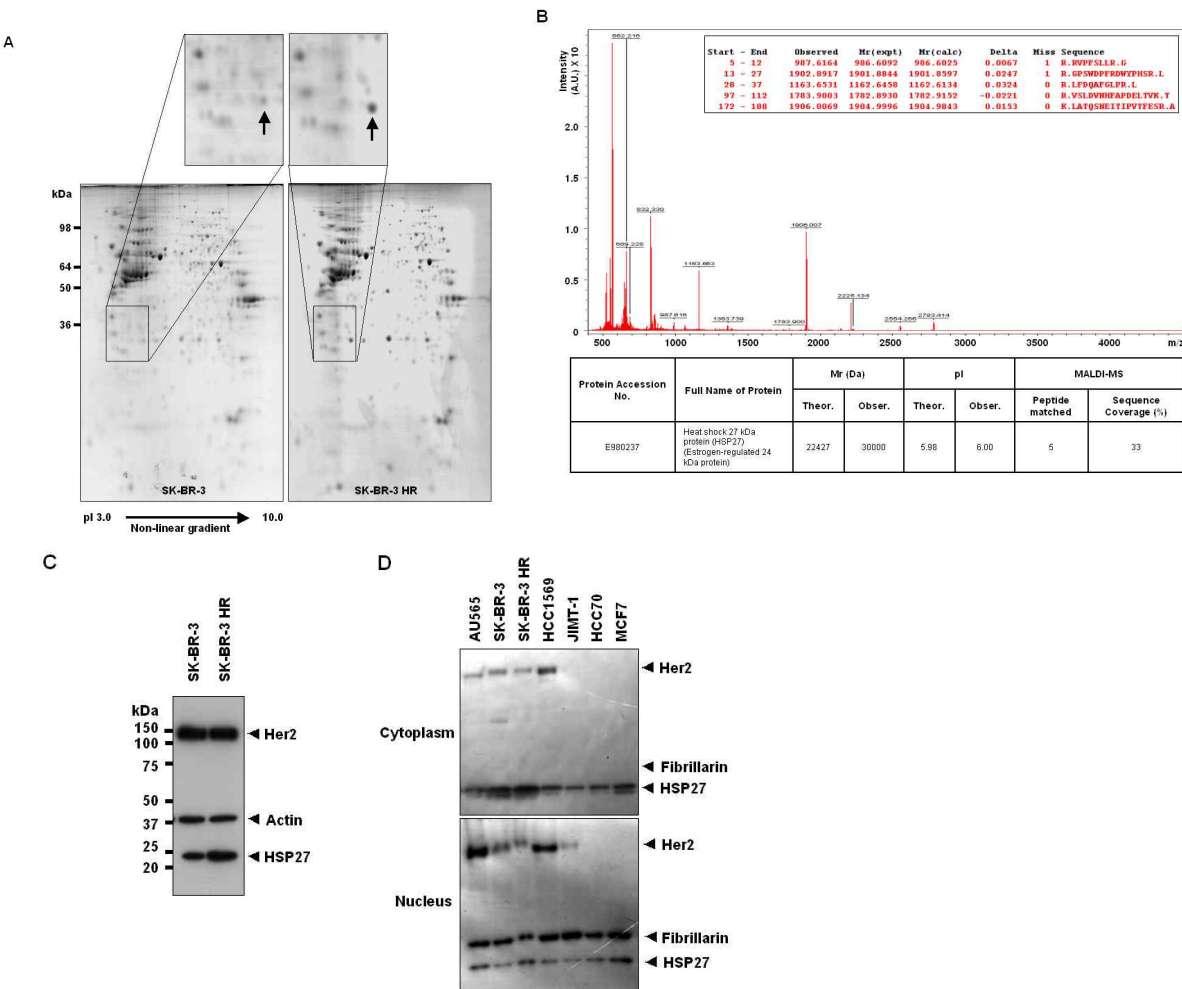


그림 20. Herceptin 내성 세포주 SK-BR-3 HR에서 과발현 되고 있는 HSP27의 동정

- Herceptin 내성 세포주 SK-BR-3 HR과 모세포주간의 단백질체 분석을 통해 Herceptin 내성 세포주에서 HSP27이 과발현 되고 있음이 확인됨 (그림 20 A, B, C). 그러나 다양한 유방암세포주 내에서 별현되고 있는 HSP27은 Herceptin에 대한 감수성과는 뚜렷한 연관성이 없었음 (그림 20 D)
- HSP27을 인위적으로 발현 억제시켰을 경우 (그림 21 A), SK-BR-3 HR의 Herceptin에 대한 감수성을 증가하였으며 (그림 21 B), Herceptin이 존재하는 상태에서 Her2와 HSP27 단백질은 세포내에서 그 양이 감소하게 되는 것을 확인 할 수 있었음 (그림 21 C).

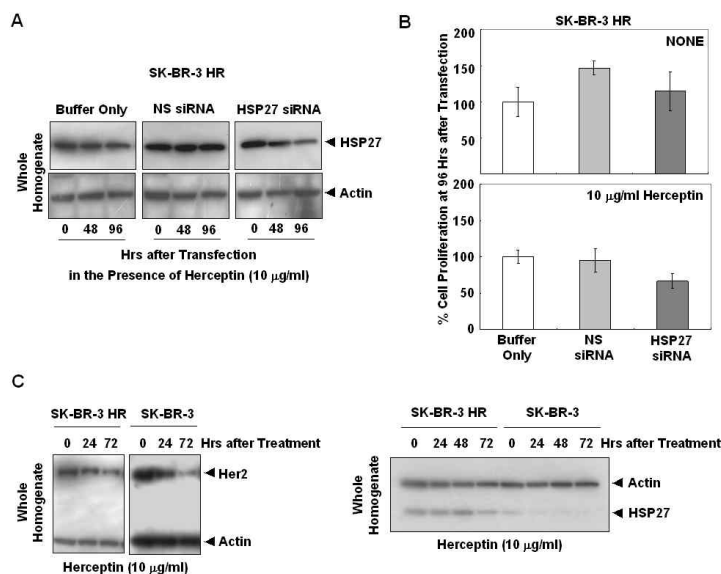


그림 21. Herceptin 내성 세포주 SK-BR-3에서 발현되고 있는 HSP27의 인위적 발현 감소를 통한 Herceptindp 감수성의 증가 및 Herceptin 처리에 의한 세포내 Her2와 HSP27 단백질 발현의 감소

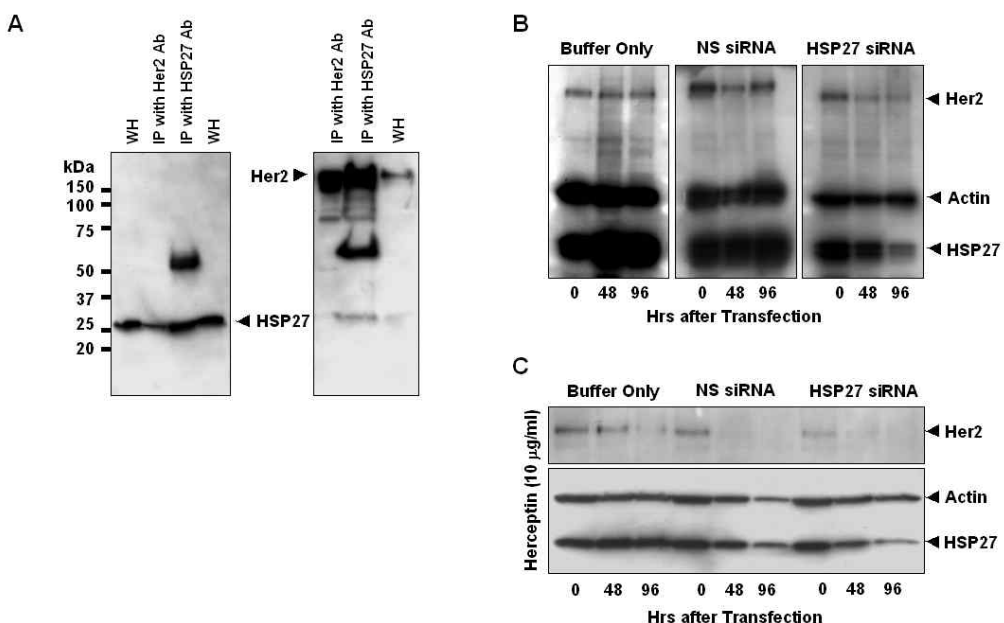


그림 22. HSP27과 Her2 단백질의 interaction 및 HSP27의 인위적 발현 억제와 동반된 Her2 단백질의 동반 감소

- 흥미롭게도 HSP27 단백질은 Her2와 interaction 하고 있는 것이 입증되었으며 (그림 22 A), 인위적인 HSP27 단백질 발현의 감소는 Her2 단백질의 감소를 동반함을 확인함 (그림 22 B, C)

3. 연구결과 고찰 및 결론

항암제에 대한 반응성의 예측은 효율이 떨어지는 항암치료를 받는 기간 동안 발생할 수 있는 여러 부작용들을 줄임으로써 환자치료의 효율을 높이고, 환자의 경제적인 부담까지도 동시에 낮출 수 있음. 이러한 이유로 항암제 반응성 예측에 대한 연구는 국내뿐 아니라 국외의 많은 연구자들에 의해 진행되어져 왔으나, 현재까지 임상에서 사용되어지고 있는 항암제 반응성의 예측인자는 존재하지 않음. 다만 receptor로부터 시작되는 signal을 차단함으로써 항암 효과를 보이는 몇몇 항암제의 경우, 환자의 암 조직이 그 receptor를 발현하는가, 발현한다면 얼마나 발현을 하는가가 항암제 반응성의 주요 인자로 인식되고 있으나 이를 제외한 경우에는 안타깝게도 확실한 임상의 항암제 예측인자가 존재하지 않는다고 해도 과언이 아님.

새로이 개발되어진 차세대 항암제들이 치료의 전면에 대두되면서 진행성 대장암의 항암치료에 있어 5-FU의 중요성이 많이 감소하고 있으며 5-FU의 반응성 예측에 대한 연구방향은 새로운 세대의 항암제에 대한 반응성 예측으로 초점이 이동되어가고 있는 현실임. 그러나 5-FU는 아직까지도 진행성 대장암의 combinational chemotherapy의 중요 구성 약제로서 자리매김을 하고 있으며, 실제로 5-FU 내성과 관련된 단백질들이 다른 다양한 약제의 내성과도 연결되는 특징을 보이기에 5-FU 반응성, 내성의 연구는 아직도 중요한 기초, 임상적 과제로 남아있음.

5-FU 내성 관련 단백질로서 많은 단백질들이 동정되어졌으나, 각각의 단백질들을 개별적으로 기능연구에 들어가거나 병리 임상적 적용을 하기에는 여러 물적 인적 시간적 제한이 존재하였음. 따라서 가장 높은 연구 가치를 가지고 있다고 판단된 한 개의 내성 후보 단백질인 galectin-3를 중심으로 심화된 연구를 진행하였음. 심화된 연구를 통하여 기존에 다른 연구자들에 의해 발표되어진 단백질의 세포내에 존재하고 있는 위치 또는 인산화에 따른 내성 유도 기작이 대장암 세포주에서는 적용되고 있지 않음을 확인하였고, 이 단백질이 다른 단백질들(hnRNPQ, ATP synthase 등)과의 상호작용을 통해 단백질의 stability를 조절함은 물론 이를 통해 항암제의 내성을 유발시킬 수 있다는 새로운 근거를 확립함.

기존의 항암제 내성을 세포주에서 연구하기 위한 기반으로 내성 세포주의 유도와 확립이 반드시 필요하였음. 이를 통하여 내성 세포주의 확립에 대한 지식과 노하우를 축척함으로써 5-FU가 아닌 다른 항암제 Herceptin에 대한 내성 유방암 세포주의 유도가 가능하였으며, 5-FU 내성 관련 단백질체 screening에 이용되었던 단백질체 기술을 이용하여 쉽게 Herceptin 내성 관련 단백에도 성공을 하였음. 이는 기존에 축척된 5-FU 내성 세포주의 확립, 5-FU 내성 관련 단백질의 확보 기술을 다른 다양한 항암제 및 다양한 암세포주로 확대 응용할 수 있다는 근거를 제시함.

전체 단백질체에 대한 연구에서 분비 단백질체에 대한 연구로의 전환을 통해 항암제 내성을 가진 암세포에서 분비되어 나오는 항암제 내성관련 단백질들을 임상의 대장암 환자의 혈액 내에서 검증할 수 있는 시스템을 확립함. 더불어 본 연구에 적용된 iCPL과 LC-MALDI-MS/MS를 이용한 분비 단백질의 대용량 분석 방법은 그 효율이 매우 우수함을 검증함.

새로운 연구 방법(SIMS)의 도입은 항암제 내성 관련 단백질뿐만 아니라 다양한 정보를 가지고 있는 대사체 분석을 가능케 하였음. SIMS와 GC-MS, MALDI-MS를 이용한 저분자량 대사체 연구는 앞으로 새로운 바이오 마커의 개발에 매우 유리한 기술적 접목이 될 것으로 판단됨.

4. 연구성과 및 목표달성도

(1) 연구성과

가. 국내 및 국제 전문학술지 논문 게재

논문명	저자 (저자구분)	저널명(I.F.)	Vol(No)Page	구분	과제 관련성
Down-regulation of mitochondrial F1F0-ATP synthase in human colon cancer cells with induced 5-fluorouracil resistance	제1	Cancer Res. (7.656)	65(8):3 162-70 .	국외 SCI	상
Metabotropic glutamate receptor 4 expression in colorectal carcinoma and its prognostic significance	제1	Clin Cancer Res. (6.177)	11(9):3 288-95 .	국외 SCI	상
Bax, a predictive marker for therapeutic response to preoperative chemoradiotherapy in patients with rectal carcinoma	공동	Hum Pathol. (2.810)	36(4):3 64-71	국외 SCI	상
Familial gastric cancers with Li-Fraumeni Syndrome: a case repast	공동	World J Gastroenterol.	11(26): 4124-6 .	국외 SCIE	중
Mutation spectrum of the APC gene in 83 Korean FAP families	공동	Hum Mutat. (6.743)	26(3):2 81.	국외 SCI	중
5-(4-chlorophenyl)-1-(4-methoxyphenyl)-3-trifluoromethylpyrazole acts in a reactive oxygen species-dependent manner to suppress human lung cancer growth	공동	J Cancer Res Clin Oncol. (2.469)	132(4): 223-33 .	국외 SCI	중
Regulation of MDK expression in human cancer cells modulates sensitivities to various anticancer drugs: MDK overexpression confers to a multi-drug resistance.	공동	Cancer Lett. (3.277)	247(1): 40-7.	국외 SCI	상
Clinical significance of metabotropic glutamate receptor 5	공동	Oncol Rep.	17(1):8 1-7.	국외 SCI	중

expression in oral squamous cell carcinoma		(1.567)			
Identification of mitochondrial FoF1-ATP synthase involved in liver metastasis of colorectal cancer	공동	Cancer Sci. (3.869)	98(8):1 184-91 .	국외 SCI	중
Significance of PML and p53 Protein as Molecular Prognostic Markers of Gallbladder Carcinomas	공동	Pathol Oncol Res. (1.241)	13(4):3 26-35.	국외 SCI	중

※ 저자구분 : 교신, 제1, 공동

※ 구분 : 국내, 국내 SCI, 국내 SCIE, 국외, 국외SCI, 국외SCIE 등

※ 과제관련성 : 상(Acknowledgement 가 있는 경우), 중, 하

나. 국내 및 국제 전문학술지 논문 신청

논문명	저자 (저자구분)	저널명(I.F.)	Vol(No)Page	구분	과제 관련성
Up-regulated HSP27 in Human Breast Cancer Cell Line SK-BR-3 with Herceptin Resistance	교신	Cancer Lett. (3.277)	under review	국외 SCI	상
Evaluation of Calgranulin B in Stools from the Patients with Colorectal Cancer	제1	Dis. Colon Rectum (2.442)	under review	국외 SCI	중
Interactions between Galectin-3 with Mitochondrial F1F0-ATP Synthase	제1	Cancer Res. (7.656)	to be submitted in a month	국외 SCI	상
Down-regulated Galectin-3 in Human Colon Cancer Cells with Induced 5-Fluorouracil Resistance	제1	Cancer Res. (7.656)	to be submitted in a month	국외 SCI	상
Glycolytic Enzymes Up-regulated in Proteins Secreted from Colorectal Cancer Cells with 5-Fluorouracil	제1	Clin Cancer	to be submitted	국외 SCI	상

Resistanc		R e s . (6.177)	in a month		
Analysis of Low Mass Metabolites in Serum using ToF-SIMS and GC-MS for the Prediction for Chemotherapy Response of Colorectal Cancer Patient	제1	A n a l . C h e m (5.646)	to be submitted in a month	국외 SCI	상

※저자구분 : 교신, 제1, 공동

※구분 : 국내, 국내 SCIE, 국내 SCIE, 국외, 국외SCI, 국외SCIE 등

※과제관련성 : 상(Acknowledgement 가 있는 경우), 중, 하

다. 국내 및 국제 학술대회 논문 발표

논문명	저자	학술대회명	지역	과제 관련성
Proteome Approaches to Further Understanding of 5-Fluorouracil Resistance in Cancer Chemotherapy	제1, 교신	10th Korea-Japan Cancer Research Workshop (2005)	국외 (일본)	상
Decreased Proliferation of Human Colon Cancer Cells caused by Galectin-3 Suppression and Its Effect on 5-Fluorouracil Resistance	제1	2006 AACR	국외 (미국, 워싱턴 DC)	상
Calgranulin in stools from colorectal cancer patients	공동	2007 Proteomics Europe	국외 (네덜란드, 암스테르담)	중

(2) 목표달성도

가. 연구목표의 달성도

최종목표	연차별목표	달성내용	달성도(%)	
			연차	최종
항암제 내성 인체 대장암 세포주를 이용한 프로테옴 연구를 통하여 내성 관련 단백질들을 발굴하고 그 역할을 규명함으로써 새로운 내성 관련 기작의 이해를 확대	1차년도	- 항암제 내성에 큰 차이를 보이는 대장암 세포주들 간의 프로테옴 분석을 통한 내성 관련 예상 단백질들의 동정	- Galectin-3 외 다수의 5-FU 내성 관련 후보 단백질 동정	80 25
		- 기존 연구를 통하여 얻어진 내성 관련 후보 단백질의 발현 조절과 활성 조절이 대장암 세포주의 항암제 내성에 미치는 효과 분석	- Galectin-3의 발현이 5-FU 내성에 미치는 영향 고찰 - Galectin-3와 interaction 하는 ATP synthase와 hnRNP Q 동정 및 상호 연관성 연구 진행	
		- 내성 억제제의 효과적인 임상 적용 고찰	- Galectin-3의 발현 양상과 대장암 환자의 5-FU에 대한 반응성 및 예후에 대한 연관성 연구	
	2차년도	- LC-MALDI system의 활용을 통한 고감도 대용량 프로테옴 분석 방법 토대 마련	- LC-MALDI system 확립	
		- 5-FU와 더불어 실질적으로 임상에서 combination chemotherapy로 이용되고 있는 oxaliplatin의 내성에 대한 연구를 점진적으로 확대하며, 5-FU, oxaliplatin, cancer cell type에 공통적으로 적용될 수 있는 내성 기작의 발견을 목표로	- 5-FU 내성 세포주가 oxaliplatin에도 내성을 가질 수 있도록 유도 진행	

		연구의 초점을 맞춤.		
2차년도		- 새로운 내성 단백질의 동정	- 내성 관련 단백질의 발현 조절에 따른 대장암 세포의 내성변화 관찰 및 내성 관련 단백질과 다른 단백질간의 interaction 분석을 통한 내성 관련 단백질의 세포내 내성 관련 역할에 대한 이해 확대	80 50
		- 동정된 내성관련 단백질의 기능연구		
		- 내성관련 단백질의 임상적 고찰	- 내성 관련 단백질의 발현과 대장암환자의 항암제 반응성 및 예후에 대한 연관성 고찰	
		- 5-FU & oxaliplatin 내성 세포주의 확립	- 2개 이상의 세포주 확립	
		- Galectin-3 발현억제에 따른 항암제 반응성 동물실험	- Galectin-3 발현억제 대장암세포를 이용한 nude mouse 내의 tumor 형성 및 5-FU 투여에 따른 tumor의 변화 관찰	
3차년도		- 항암제 내성 인체 대장암 세포주를 이용한 프로테옴 연구를 통하여 내성 관련 단백질들을 발굴하고 이들의 내성관련 역할을 규명함으로써 새로운 내성 관련 기작의 이해를 확대	- 항암제 내성에 큰 차이를 보이는 대장암 세포주들간의 유전체 및 프로테옴 분석을 통한 내성 관련 단백질 동정 - 기존 연구를 통하여 얻어진 내성 관련 후보 단백질의 발현 조절과 활성 조절이 대장암 세포주의 항암제 내성에 미치는 효과 분석	90 85
		- 임상적으로 적용이 가능한 항암제 내성 예측 인자나 항암보조제 개발의 토대를 마련	- LC-MALDI system과 iCPL 방법의 접목을 통한 고감도 대용량 단백질체 분석 방법 토대 마련 - 내성 관련 유전자 및 단백질의 임상 적용 고찰	

나. 평가의 차안점에 따른 목표달성도에 대한 자체평가

평가의 차안점	자체 평가
내성 관련 단백질의 동정	<p>다수의 내성 관련 단백질의 동정 전체 단백질체 분석과 더불어 분비 단백질 분석이 함께 병행 되어짐 한 개의 내성 세포주에서 동정된 내성 단백질이 다른 내성 세포주에서는 발현의 큰 차이를 보이지 않는 경우를 확인함 / 단일 세포주에서 변화된 내성 관련 단백질이 아닌 다수의 내성 세포주에서 공통적 발현 변화를 보이는 내성 관련 단백질들을 확보함</p>
동정된 단백질의 기능연구	<p>동정된 단백질 수에 비해 소수의 단백질에 대한 기능 연구 수행 발현 억제를 통한 단백질 기능 연구에 비해 인위적 과발현 시스템을 정착시키지 못함 내성 관련 단백질과 상호 작용하는 단백질의 추가 분석을 통한 내성 관련 기작의 이해를 확대</p>
임상적 고찰	<p>병리학적 고찰을 통해 내성 관련 단백질의 발현과 대장암 환자의 항암제 반응성 예측의 상호 연관성 연구 5-FU 단일 항암제 처방이 아닌 5-FU-based combination chemotherapy, 또는 5-FU/radiation therapy를 처방받은 환자의 임상 sample에서 세포주 연구를 통해 얻어진 내성 관련 후보 단백질의 임상적 의의를 검증하는데에는 확실한 한계가 존재함</p>
새로운 단백질체 분석기술의 적용	<p>세포주 연구를 통해 얻어진 내성 관련 단백질들은 임상에서 5-FU 내성을 예측할 수 있는 단백질이 아닌 전이, DFS 등의 clinicopathological factor들과의 연관되어진 단백질들로 밝혀짐 LC-MALDI-MS system의 실질적인 set up으로 복잡한 단백질체 분석의 효율성 증대 LC-MALDI-MS system에 iCPL 분석 방법의 접목 LC-MS/MS system의 기본 정비를 통한 단백질체 코어 랩의 정착 시간을 단축 시킴 저분자량을 가진 대사체를 분석하기 위한 새로운 분석 방법을 시도함</p>

5. 연구결과의 활용계획

(1) 연구종료 2년후 예상 연구성과

구 분	건 수	비 고
학술지 논문 게재	6 (under review 2편 + drafts in preparation 4편)	SCI급 학술지 Impact Factor 총합 30 이상 [4. 연구성과 및 목표달성을 (1) 연구성과 나. 국내 및 국제 전문학술지 논문 신청 기준]
산업재산권 등록	1	미국, EU (저분자 대사체 분석 방법)

(2) 연구성과의 활용계획

가. 임상적인 측면

- 본 연구의 결과는 궁극적으로는 효과적인 항암 치료를 임상에 적용하기 위함이나 이 이후의 2-3년에 걸친 동물 실험과 실제 환자의 치료효과와 부작용에 대한 연구가 최소한 추가 요구됨

나. 지식 및 기술적 측면

- 항암제 내성 관련 단백질을 동정하기 위해 이용되어진 LC-MALDI, LC-MS/MS - high throughput proteomics는 내성관련 단백질의 동정뿐 아니라 다른 암 표지제 개발 등 다양한 분야에 적극 활용되어질 기술의 축척임

다. 산업적 측면

- 본 연구와 추가적인 연구를 통해 개발 되어질 수 있는 항암 내성 예측인자는 항암제 반응성의 예측뿐만이 아니라 항암화학요법의 효과를 증진시키거나 내성을 제거할 수 있는 adjuvant 의 개발의 토대가 되어질 것으로 예상됨. 이를 통한 의학 산업적 부가가치가 매우 크리라 예상됨

6. 첨부서류

1) 연구기간내의 발표된 논문 10편의 첨부는 제외

2) [연구과제 관련성 “상”, 저자구분 “제1” 또는 “교신”의 경우]

연구기간 내 신청 1편 및 최종 편집중인 신청 예정 논문 4편의 draft를 첨부함.